

# **Die geomorphologische Situation unter dem Blickwinkel der DGM2 Laser- Scann-Bilder in der Uckermark - Der Versuch einer Neuinterpretation -**

Dr. H. Domnick und Horst Michaelis

Die Autoren dieses Beitrages versuchen nach der Beschreibung der Dünen (DOMNICK ,2), der Darstellung des Verlaufes der eiszeitlich bedingten Sanderausbreitung (DOMNICK, MICHAELIS 4), der Bestimmung der noch vorhandenen Sölle (DOMNICK, 3) nun die Endmoränenverläufe und Stauchungszonen (DOMNICK, MICHAELIS 4) im Geopark Eiszeitland am Oderrand, im Nordosten Brandenburgs, mit Hilfe des DGM2 Laserscann- Verfahrens besser als es bisher in der Literatur vorgenommen werden konnte, zu demonstrieren.

Aufgebaut werden soll dabei auf die von HANNEMANN (11) gemachte Aussage, *"...das Relief ist einer der wichtigsten bodenbildenden Parameter überhaupt. Dabei bestimmt in Abhängigkeit von der Reliefenergie, die horizontale und vertikale Genauigkeit des DGM in entscheidendem Maße die Detailschärfe (der Bodenkartierung(Verf))."*

Auf die Bedeutung des DGM2 auch für eine differenzierte bodengeologische Kartierung, besonders bei der Abgrenzung von Dünen, Auen, Flussterrassen und Söllen weisen auch schon HANNEMANN (11) und später DOMNICK (2) hin.

Auf der Grundlage der damals vorliegenden Literatur schrieben wir 2003:

*" Auf einer Entfernung von nicht mehr als 120 Kilometer finden wir insgesamt 6 Endmoränenstufen, das heißt, im Durchschnitt lag aller 20 Kilometer eine Eisrandlage."*  
H.DOMNICK, W. EBERT, G. LUTZE ( 2003)". Diese Aussage kann nicht mehr aufrecht gehalten werden. In Abb.: 1 werden die Endmoränen und Stauchungszonen von G. CEPEK noch so dargestellt wie man sie bis 1993 vermutete. O. JUSCHUS machte 2015 freundlicher Weise die Autoren darauf aufmerksam, dass nicht nur westlich der Uckersee- Rinne einige von CEPEK u. a. ausgewiesene Endmoränen, also ehemalige Eisrandlagen, heute nur als Stauchungszonen betrachtet werden. Stauchungszonen können durchaus auch unter dem Gletschereis entstanden sein. Endmoränen sind somit ein wesentlicher Bestandteil der Glazialen Serie mit Grundmoräne, Endmoräne, Sander und Urstromtal und in unserem Raum viel seltener anzutreffen als bisher angenommen. Stauchungszonen müssen damit keinen direkten Bezug zu einer Eisrandlage haben (13).



**Eisrandlagen**

- |  |                                |
|--|--------------------------------|
| W2P - Pommersche Staffel                                       | W3R - Rosenthaler Staffel      |
| W2m - Pommerscher Maximalvorstoß<br>(Seenstaffelzone II)       | W3Pe - Penkuner Staffel        |
| W1E - Eberswalder Staffel<br>(=? W1Fü - Fürstenberger Staffel) | W2Ü - Uecker - Staffel         |
| W1F - Frankfurter Staffel                                      | W2G - Gerswalder Staffel       |
| W1W - Woltersdorfer Staffel                                    | W2ZG - Zichow - Golmer Staffel |
| W1SE - Spandau - Erkner - Staffel                              | W2Pa - Parsteiner Staffel      |
|  | W2A - Angermünder Staffel      |

**Abb. 3. 2 - 1: Das Jungmoränengebiet von Nordostbrandenburg - Eisrandlagen, Hochflächen und Urstromtäler: Regionaler Rahmen des Exkursionsgebietes.** [ Nach Karten von Keilhack ( 1921 ), W. Schulz (1965), Cepek et al. ( 1973 ), Chrobok, Markuse & Nitz ( 1982 ), Rühberg ( 1987 ), u. a.; Zusammensetzung Cepek; Stand 1993 ]

Abb.: 1

Im Führer zur Geologie von Berlin und Brandenburg Nr.: 2 Bad Freienwalde und Parsteiner See, Herausgeber: J. H. SCHROEDER, gliedert G. CEPEK auf S.33 die Eisrandlagen in der Uckermark in eine: Pommersche Staffel, Rosenthaler Staffel, Penkuner Staffel, Uecker Staffel, Zichow-Gollmer Staffel, Parsteiner Staffel und Angermünder Staffel. (Siehe Abb. 1).

## Die geomorphologische Situation unter dem Blickwinkel der DGM2 Laserscann-Bilder

Im Atlas zur Geologie Brandenburgs werden die Endmoränenzüge: Pommersche Staffel, Eberswalder Staffel, Angermünder Staffel, Parsteiner Staffel, Zichow-Gollmer Staffel, Gerswalder Staffel, Uecker Staffel, Penkuner Staffel und Rosenthaler Staffel dargestellt. ( Abb.: 2).



Abb.:2

Es zeigen sich zwischen den beiden Zeichnungen, den Abb. 1 und 2, erhebliche Abweichungen bei den angenommenen ehemaligen Verläufen der Eisrandlagen. Noch schwieriger wird die Zuordnung der DGM2 Laserscann-Aufnahmen (vergleiche Abb. 3 und 4). Die Auswertung der DGM2 Laserscann-Aufnahmen lässt an einigen Stellen einen Endmoränenverlauf einschließlich der Stauchungszonen anders erscheinen.

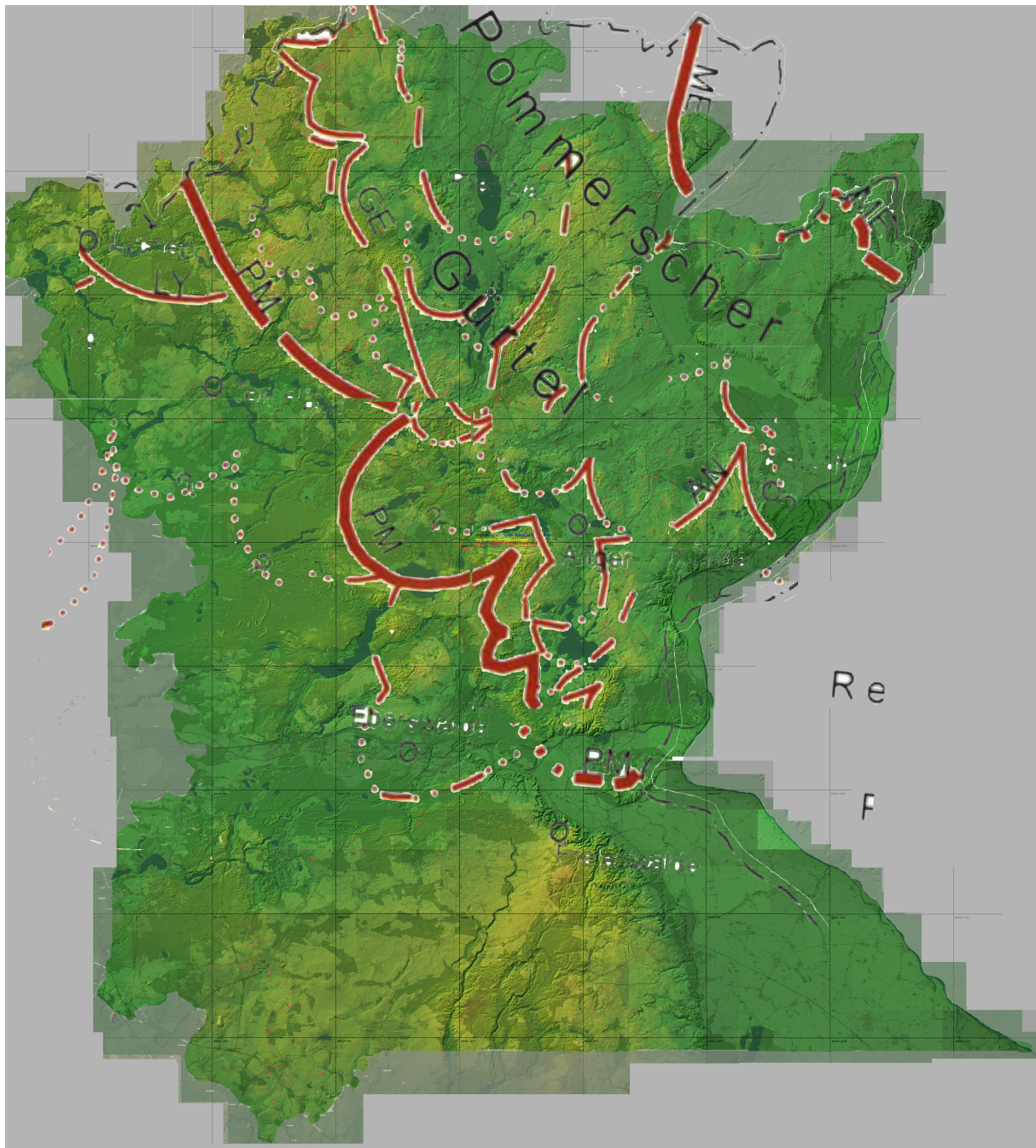


Abb.: 3. Versuch einer Darstellung der DGM2 Aufnahmen in Verbindung mit der Grafik aus dem Atlas zur Geologie von Brandenburg (teilweise entzerrt um eine einigermaßen tragfähige Übereinstimmung zu erhalten).

Quelle: Geobasisdaten GeoBasis DE /LGB2015 GB-17/15.

Die Pommersche Endmoräne bei Liepe zieht sich mit den Parsteiner Bögen östlich des Parsteiner Beckens nach Norden und umschließt so das Parsteiner Becken, in dem der Parsteiner See zum Zungenbeckensee wurde(8) (siehe Abb.: 4). ( Siehe dazu auch die Veröffentlichung von DOMNICK , MICHAELIS (4) "Bemerkungen zur eiszeitlichen Oberflächengestaltung zwischen Liepe, Oderberg und Parseiner See".

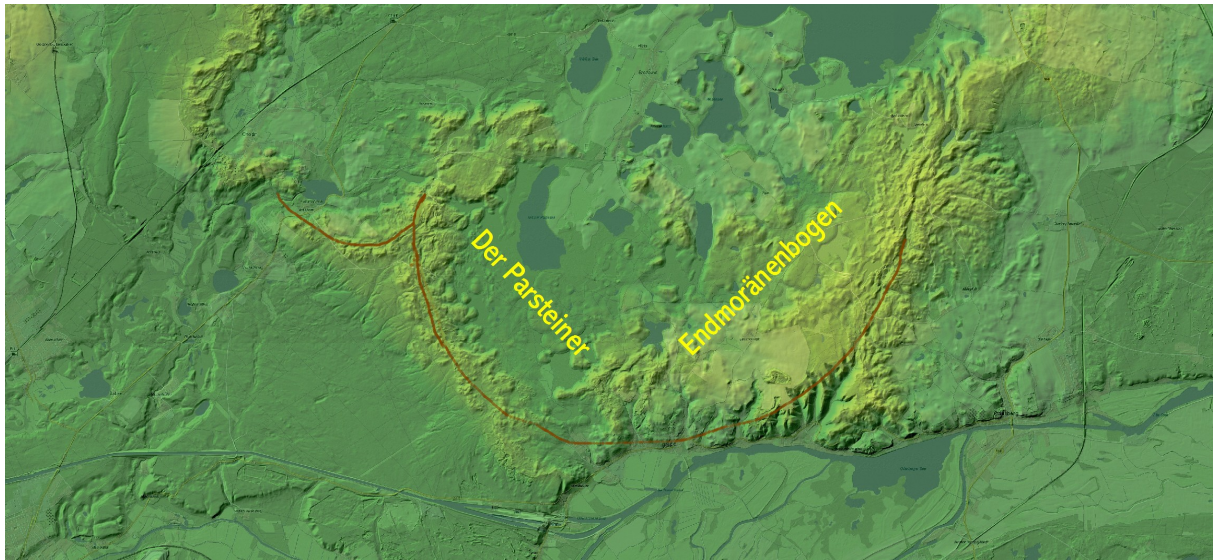


Abb.:4 Der vermutliche Verlauf des Parsteiner Endmoränenbogens  
Quelle: Geobasisdaten GeoBasis DE/LGB 2015 GB-W 17/15

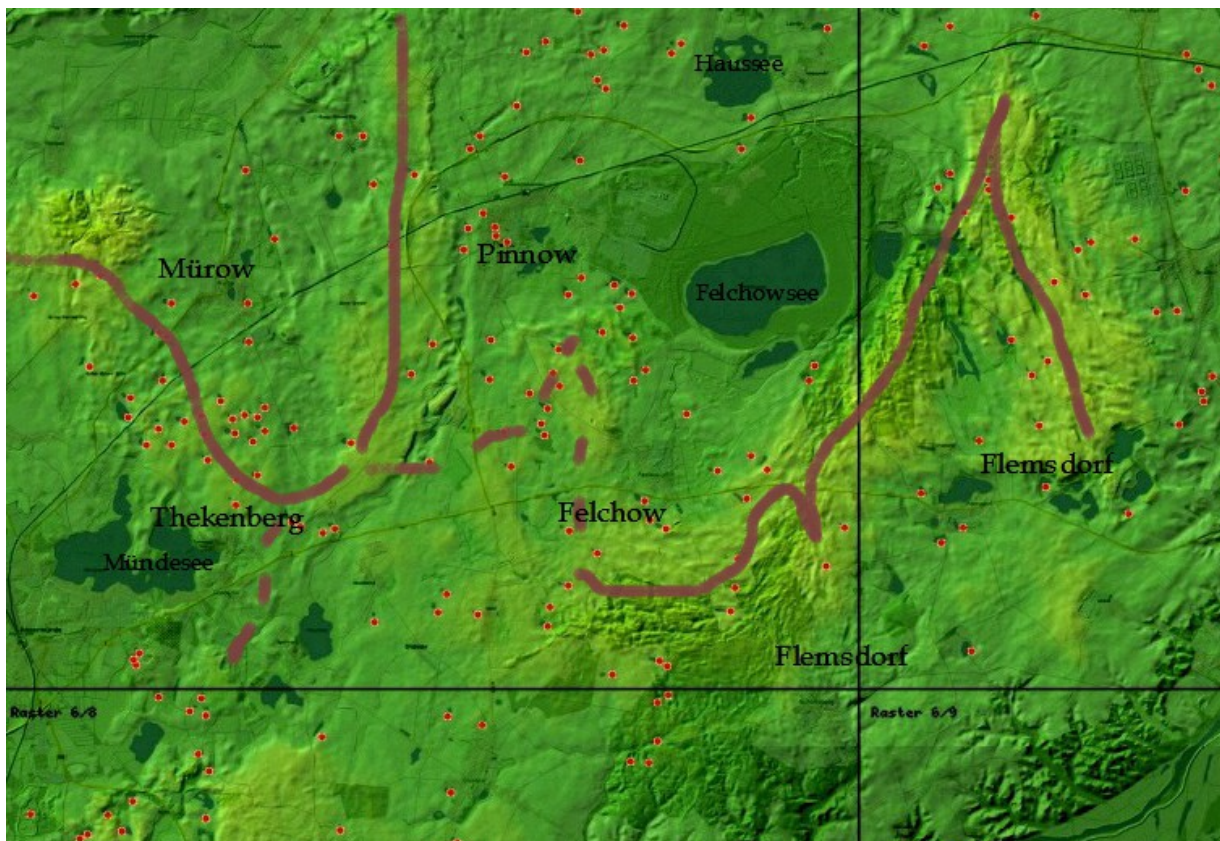


Abb.: 5. Der Verlauf der Angermünder Eisrandlage östlich von Angermünde Quelle:  
Geobasisdaten GeoBasis DE/LGB2015 GB-W 17/15.

Der östliche Verlauf der Angermünder Staffel ist aus den DGM2 Aufnahmen gut nachvollziehbar. (Siehe Abb.5). Östlich von Angermünde, in der Bildmitte, der Große Felchowsee, ein Zungenbeckensee. (Abb.:5).

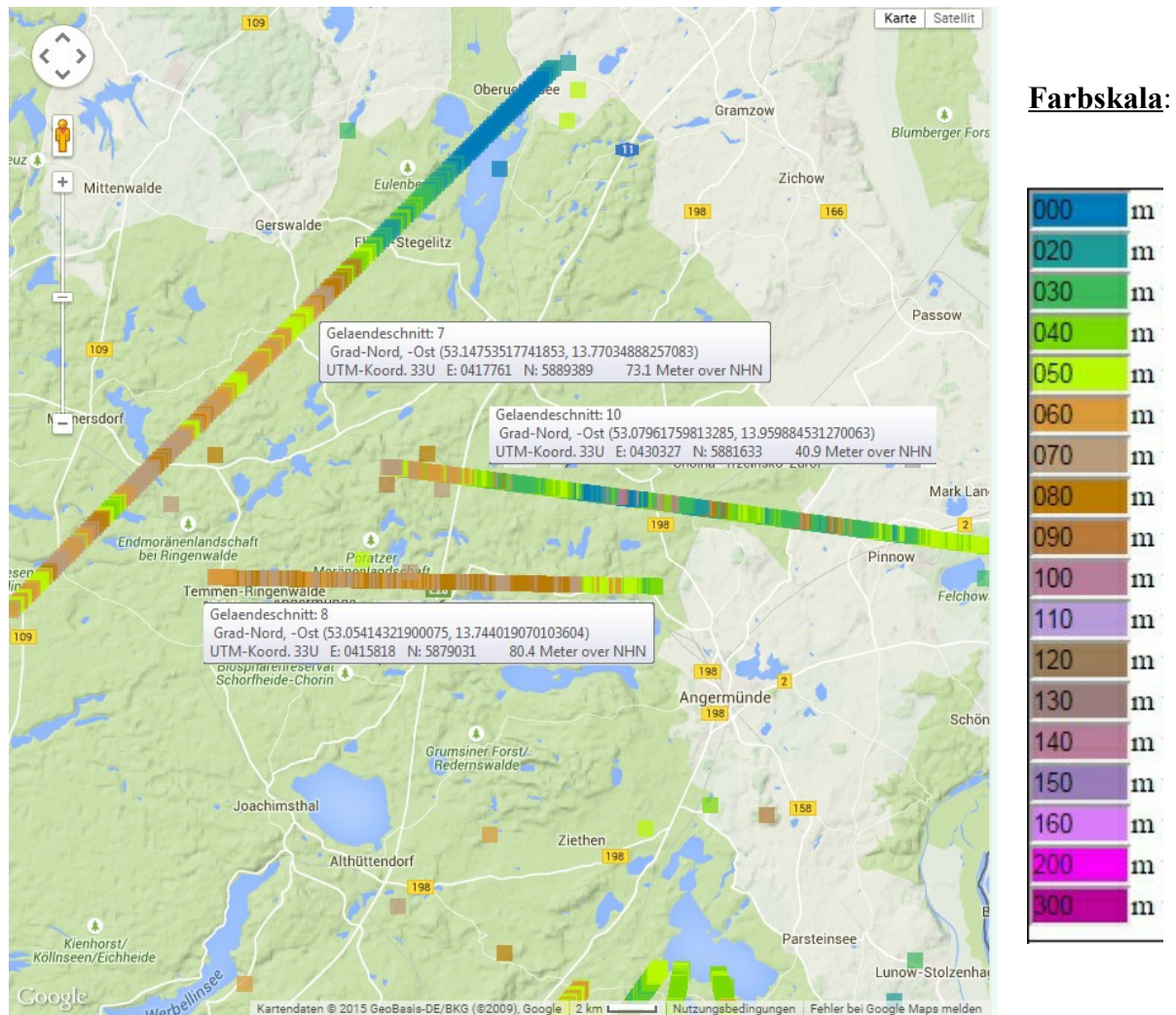
## Die geomorphologische Situation unter dem Blickwinkel der DGM2 Laserscann-Bilder

Mit den Geländeschnitten 7, 8 und 10 wurde versucht über die Höhen der Erhebungen dem Verlauf der Endmoränen näher zu kommen. (Siehe Abb.:6).

Die Höhen der weichselzeitlichen Stauchungsgebiete bilden rund um die Uckerseen-Rinne das Becken für einen Talgletscher. Da hier die Glaziale Serie mit den Sander Ablagerungen nicht nachgewiesen werden konnte, handelt es sich um Stauchungsgebiete, nicht um Endmoränen beziehungsweise um Eisrandlagen.

Nach den Geologischen Übersichtskarten(10,12) sind glaziale Serien mit Endmoräne, Sander, Grundmoräne und Urstromtal westlich der Uckerseen-Rinne nur bei der Pommerschen Endmoräne und der Gerswalder Staffel anzutreffen, östlich der Uckerseen- Rinne nur für den Teil der Angermünder Staffel. Alle anderen von G. CEPEK ausgewiesenen Eisrandlagen beschränken sich mit ihren Schmelzwasserabflussbahnen auf Stauchungsgebiete die "z. T. überfahren und eine erkennbare Randlagenbindung, z. T. an ältere Stauchungskomplexe grenzend: Sand bis Kies, Schluff, Geschiebemergel, ganz überwiegend der Weichselkaltzeit (aufweisen(Verf.)." (Zitat aus der Geologischen Übersichtskarte von Brandenburg).

Nach den Geologischen Übersichtskarten und den DGM2 Laserscann-Aufnahmen ist die Angermünder Staffel westlich der Uckerseen-Rinne nicht mehr nachweisbar.



Die geomorphologische Situation unter dem Blickwinkel der DGM2 Laserscann-Bilder

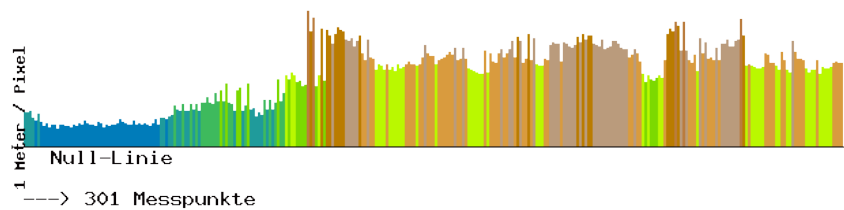
Abb.: 6 Drei Schnitte zur Darstellung der Höhen im Gebiet der Endmoränenlandschaft in der Uckermark.

Quelle: (www.eiszeitstrasse.de: Geologisches / Die Höhenangabe über NHN ).

Die Höhen der Messpunkte der dargestellten Geländeschnitte werden im Anhang gezeigt.

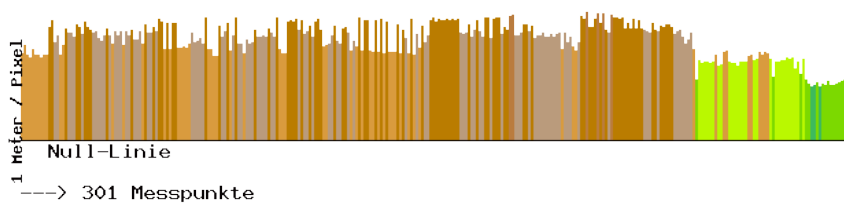
### Geländeschnitt 7

Der Geländeschnitt beginnt bei den				
Geokoordinaten		UTM-Koordinaten		
° Nord	° Ost	Zone	Ost	Nord
53.224946288810635	13.90045166015625	33U	0426594	5897859
und endet bei den Koordinaten				
53.03275691819509	13.5787457408946	33U	0404694	5876859
Niedrigste Höhe:		12.9 m NHN		
Größte Höhe:		98.7 m NHN		
Der Geländeschnitt ist		30341 m lang		
Der Abstand zwischen den Messpunkten beträgt		101.13 m		



### Geländeschnitt 8

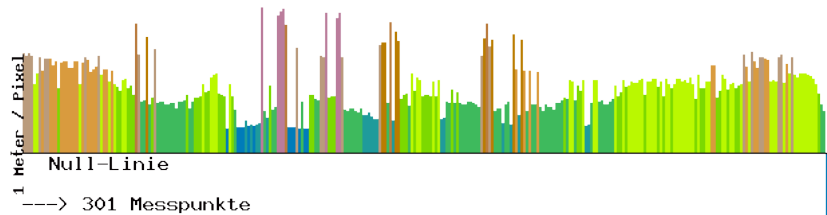
Der Geländeschnitt beginnt bei den				
Geokoordinaten		UTM-Koordinaten		
° Nord	° Ost	Zone	Ost	Nord
53.05451121564449	13.7111829550263	33U	0413618	5879111
und endet bei den Koordinaten				
53.051532780955085	13.957443237304688	33U	0430118	5878511
Niedrigste Höhe:		38.9 m NHN		
Größte Höhe:		92.6 m NHN		
Der Geländeschnitt ist		16510 m lang		
Der Abstand zwischen den Messpunkten beträgt		55.03 m		



### Geländeschnitt 10

## Die geomorphologische Situation unter dem Blickwinkel der DGM2 Laserscann-Bilder

Der Geländeschnitt beginnt bei den				
Geokoordinaten		UTM-Koordinaten		
° Nord	° Ost	Zone	Ost	Nord
53.09151692278302	13.8080852681823	33U	0420181	5883115
und endet bei den Koordinaten				
53.05978679424107	14.207382202148438	33U	0446881	5879215
Niedrigste Höhe:		-4941 m NHN		
Größte Höhe:		108.2 m NHN		
Der Geländeschnitt ist		26983 m lang		
Der Abstand zwischen den Messpunkten beträgt		89.94 m		



Schon auf Abb. 1 (G.CEPEK, 1993) sind die dargestellten Verläufe der Endmoränen streckenweise als unsichere Verläufe dargestellt. Trotz der Versuche einer maßstabgerechten Entzerrung der Abbildung aus dem Geologenatlas bleiben einige Ungenauigkeiten. Der Verlauf der Angermünder Staffel nordöstlich von Angermünde ist im DGM2 Bild recht gut nachzuweisen. (Siehe Abb.: 5) Die Höhen der Erhebungen liegen zwischen 40 Meter und 90 Meter NHN (Siehe auch die Höhentabelle der Schnitte). (Die roten Punkte in der Abbildung 5 sind Kleingewässer, Sölle, also Toteisgewässer unter 1 Hektar). Bei Fellchow hebt sich deutlich der Große Fellchowsee mit dem Fellchower Seengebiet (Höhe 35 m NHN) als Zungenbeckenseen ab. Südlich der Angermünder Staffel schließen sich die Sander um Angermünde mit Höhen um unter 50 bis unter 40 Meter an. Dieser Teil der Angermünder Eisrandlage entstand offensichtlich in zwei Phasen. Als erstes entstand vermutlich der Teil zwischen Felchow und Neuendorf und erst später die Endmoräne zwischen Mürow und Pinnow. Mit dem zeitlichen Abstand konnte bei Pinnow die steile Abbruchkante zum Zungenbecken und zur Abflussrinne bei Fellchow und Thekenberg entstehen. Als dritte Variante der Verläufe der mit Namen bezeichneten Eisrandlagen wurden stichprobenartig die Grafiken von DE BOER aus dem Heft 16 der Entdeckungen entlang der Märkischen Eiszeitstraße (7) in die Vergleiche einbezogen. Als Beispiel wird hier auf die Grafik 8 bei DE BOER eingegangen. Dabei wird davon ausgegangen dass die Abbildungen auf den Laserscann-Aufnahmen den tatsächlichen Verhältnissen entsprechen. So ist eine Eisrandlage wie sie DE BOER beschreibt auf den Laser-Scann-Aufnahmen nicht erkennbar. Trotz zahlreicher guter Bezugspunkte, wie Ortschaften und Urstromtäler, fehlt im Vergleich zu den DGM2 Laserscann-Aufnahmen bei DE BOER eine maßstabgerechte Abbildung. Wenig sinnvoll unter dem oben genannten Aspekt erscheinen die Darstellungen auf der Reliefkarte des Landes Brandenburg (8). Hier fehlen sowohl die Zusammenhänge der einzelnen Eisrandlagen als auch deren Bezeichnungen obwohl diese in der Öffentlichkeit bereits weit verbreitet sind, also auf einer geologisch orientierten Karte vom Nutzer gesucht werden.

## Die geomorphologische Situation unter dem Blickwinkel der DGM2 Laserscann-Bilder

Auch wenn auf der geologischen Übersichtskarte des Landkreises Uckermark (10) die geologischen Oberflächenverhältnisse gut dargestellt wurden, so sind z. B. die Höhen über NHN nur punktuell zu finden und es fehlen auch hier die angenommenen Verläufe der ehemaligen Eisrandlagen. Dennoch haben wir bei unseren Vergleichen auch auf diese Arbeit zurückgegriffen.

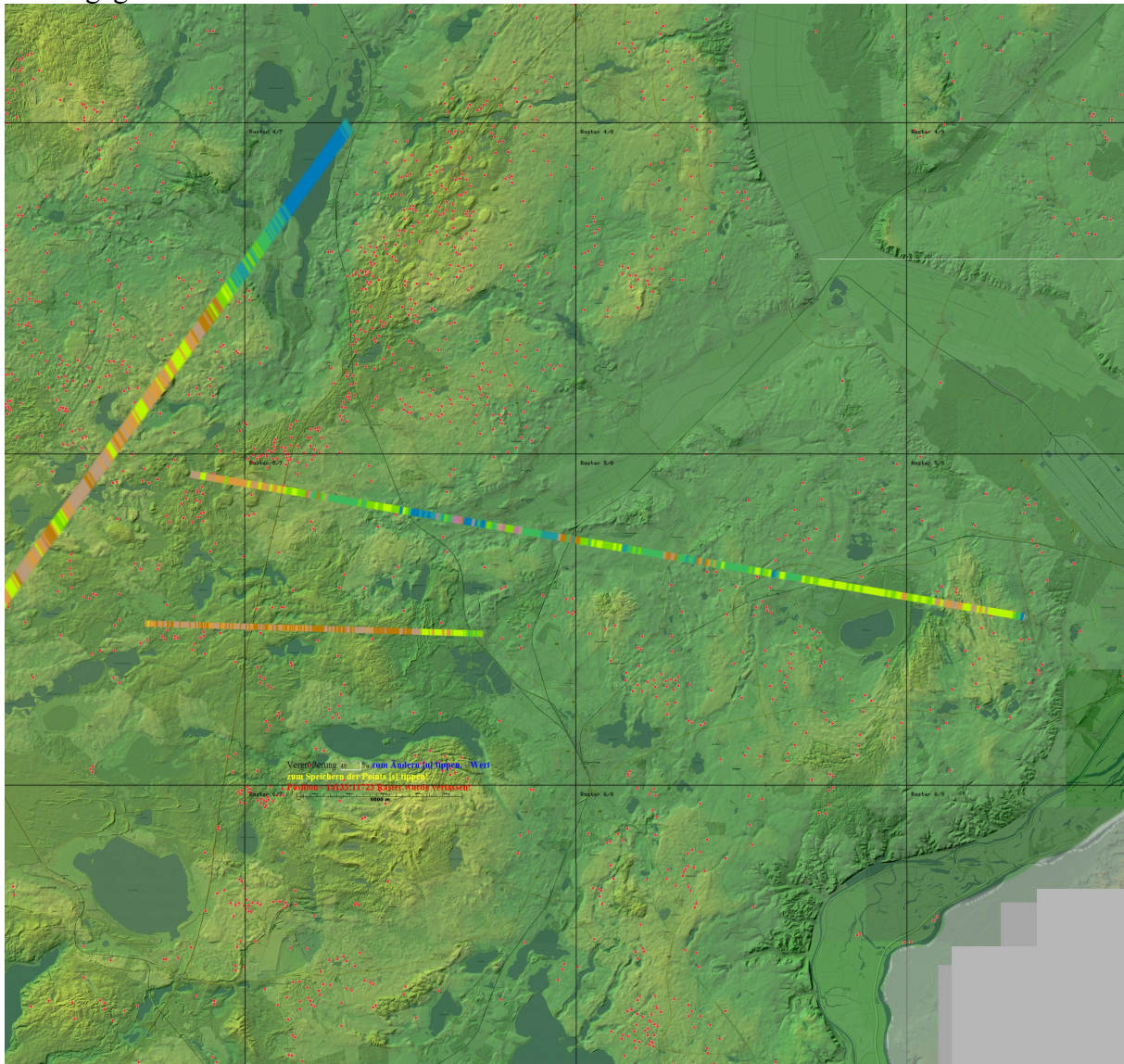


Abb.: 8 Die Lage der drei Geländeschnitte mit den Höhen im Umfeld der Angermünder Staffel (Ost). Quelle: Geobasisdaten GeoBasis DE/LGB2015GB-W17/15

In Abb.8 wird versucht die Höhenmessungen der einzelnen Punkte der Geländeschnitte um die jeweils 300 Messpunkte in der Nähe der Angermünder Staffel für den Schnitt 7, 8 und 10 darzustellen. Die Farben der einzelnen Messpunkte geben die Höhen an (Siehe Farbskala zu den Höhen über NHN: Seite 6).

Im Schnitt 8 der die Angermünder Staffel östlich von Angermünde von Temmen bis Kerkow durchschneidet, sind die Höhen bis zum Messpunkt 246 alle über 60, 70, 80, ja 90m NHN. Ganz anders sieht dies am Schnitt 10 von Landin bis Pinnow bis Steinhöfel aus. An der schönen Aussicht nordöstlich des Plötzees werden Höhen von über 100m NHN erreicht. Dagegen sinken die Höhen nordwestlich des Plötzees auf 10 bis 56m NHN. So muss auch der im Atlas angegebene Verlauf einer Zichow-Gollmer (Eisrandlage?) oder besser Stauchungszone, überprüft werden. (siehe weiter unten!).



## Die geomorphologische Situation unter dem Blickwinkel der DGM2 Laserscann-Bilder

Laserscann-Aufnahmen sind fächerförmige Sandablagerungen auch am südlichen End des Oberuckersees erkennbar.

Auf der Abb.: 11 werden die vermutlichen tatsächlichen Verläufe der Eisrandlagen auf der Grundlage der DGM2 Laserscann-Aufnahmen dargestellt.

Für die Anwendung im Atlas zur Geologie von Brandenburg empfehlen wir auf diese neue Darstellung unter Abb.: 11 zurückzugreifen solange nicht andere Erkenntnisse vor Ort weitere Korrekturen erforderlich machen.

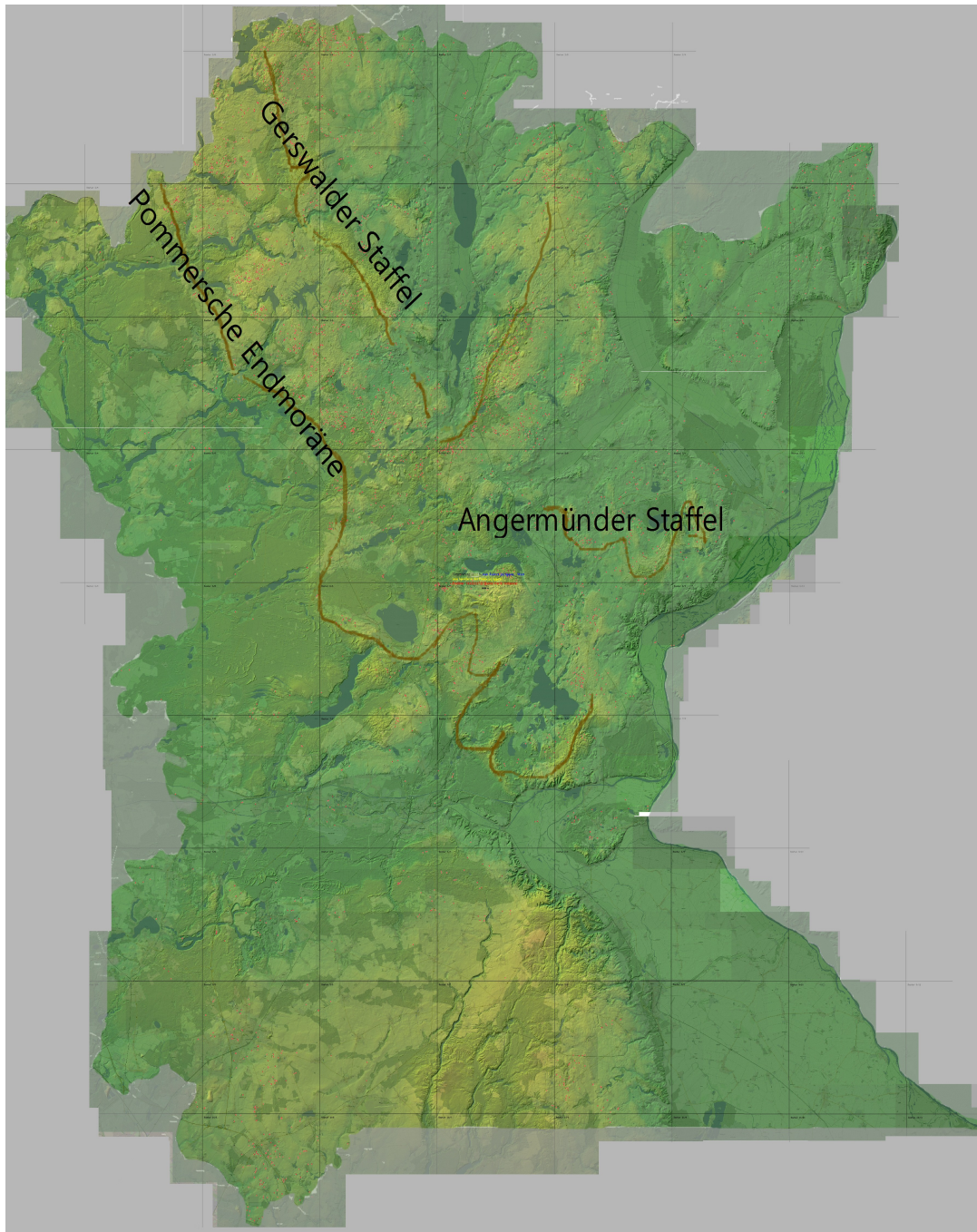


Abb.: 11 Quelle: Geobasisdaten GeoBasis DE/LGB 2015 GB-W 17/15

## Zusammenfassung

In den Veröffentlichungen zur Geomorphologie der Uckermark (DOMNICK, EBERT, LUTZE 1, DOMNICK, MICHAELIS 3 , Atlas zur Geologie von Brandenburg 5, CEPEK 6, geologische Übersichtskartendes Landes Brandenburg 1:300 000 11, Geologische Übersichtskarte des Landkreises Uckermark 1:100 000 10 sowie bei de Boer 7) reichen die Darstellungen zur Häufigkeit und zur Lage der Endmoränen, der vermutlichen Eisrandlagen zur Zeit der Weichsel-Kaltzeit, teilweise erheblich voneinander ab. An Hand von DGM2 Laserscann-Aufnahmen werden in der vorliegenden Arbeit Vergleiche zur Lage der Endmoränen u. a. an Hand der Höhen über NHN dargestellt. Änderungsvorschläge werden zu den Verläufen der Pommerschen Endmoräne, zur Gerswalder Staffel östlich der Uckerseen, zur Angermünder Staffel und zur Zichow-Gollmer Staffel unterbreitet.

- Literatur:**
- 1 Hans Domnick , Werner Ebert, Gerd Lutze :  
Die Märkische Eiszeitstraße . Das Barnimer Land, die Uckermark und Märkisch Oderland 152 Seiten  
Findlings-Verlag Neuenhagen 2003.
  - 2 Hans Domnick: Mit Laserscanner die Dünen in der Schorfheide visualisieren S.: 48 - 53 in: Entdeckungen entlang der Märkischen Eiszeitstraße Heft: 16 Streifzüge (I)- durch den Nordosten Brandenburgs Hrg.: Gesellschaft zur Erforschung und Förderung der Märkischen Eiszeitstraße e.V. Eberswalde 2015.
  - 3 Hans Domnick, Horst Michaelis: Sölle im Geopark Eiszeitland am Oderrand Druck in Vorbereitung. Veröffentlicht in [www. Märkische Eiszeitstraße](http://www.MaerkischeEiszeitstrasse.de).  
Natur und Landschaft / Geologie, /Sölle.
  - 4 Hans Domnick, Horst Michaelis: Bemerkungen zur eiszeitlichen Oberflächengestaltung zwischen Liepe/ Oderberg und dem Parsteiner See Druck in Vorbereitung. Veröffentlicht unter [www. Märkische Eiszeitstraße](http://www.MaerkischeEiszeitstrasse.de)  
Natur und Landschaft /Geologie
  - 5 Atlas zur Geologie von Brandenburg 4. aktualisierte Auflage 2010 Landesamt für Bergbau, Geologie und Rohstoffe Brandenburg Inselstraße 26, 03026 Cottbus
  - 6 A. G. Cepek. Stratigraphie und Lithofazies, in Führer zur Geologie von Berlin und Brandenburg Nr.2: Bad Freienwalde-Parsteiner See Hrg.: von J. H.Schroeder Geowissenschaftler i Berlin und Brandenburg e.V.Selbstverlag Berlin 1994. S. 33.

- 7 Wierd Mathijs de Boer: Eisrandlagen und Abflussbahnen der Weichsel-Kaltzeit in der östlichen Uckermark (Brandenburg/Mecklenburg-Vorpommern S. 5 - 19 ) in Heft 16 (2015) der Entdeckungen entlang der Märkischen Eiszeitstraße Streifzüge (I) - durch den Nordosten Brandenburgs Herausgeber.: Gesellschaft zur Erforschung und Förderung der Märkischen Eiszeitstraße e.V.
- 8 Reliefkarte 1:500 000 ein schattenplastisches Reliefbild. land Brandenburg. Herausgeber: Landesvermessungsamt Brandenburg 2000.
- 9 Geotouristische Karte "Geopark Mecklenburgische Eiszeitlandschaft" 1: 200 000 Güstrow 2007.
- 10 Geologische Übersichtskarte 1: 100 000 Landkreis Uckermark, Hrsg.. Landesamt für Bergbau, Geologie und Rohstoffe Brandenburg und Landesvermessung und Geoinformation Brandenburg 2005.
- 11 Dr. Jens Hannemann: Anwendungsbeispiele für das DGM2 aus Sicht der bodengeologischen Kartierung S. 18-21. in : Digitales Geländemodell und ausgewählte Anwendungen. Herausgeber: Landesgruppe für die Erstellung eines landesweiten DGM2 c/o Ministerium des Innern . Potsdam 2013.
- 12 Geologische Übersichtskarte des Landes Brandenburg 1:300 000 Herausgeber: Landesamt für Geowissenschaften und Rohstoffe Brandenburg in Zusammenarbeit mit Landesvermessungsamt Brandenburg 1997
- 13 Smed,Per. Die Entstehung der dänischen und norddeutschen Rinnentäler (Tunneltäler)-Glaziologische Gesichtspunkte. in: Eiszeitalter und Gegenwart. Hannover **48** (1998) S. 1-18.

Anlagen

**Märkische Eiszeitstrasse.Natur und Landschaft. Geologisches.**

**Die Höhenangabe über NHN**

alle Angaben ohne Garantie!

**Geländeschnitt 7**

**Die Messpunkte:**

Pkt.	Meter		Geo -Koordinaten		UTM - Koordinaten	
	NHN	° Nord	°Ost	Zone,	Ostwert,	Nordwert
0	24.9	53.224946288810635	13.90045166015625	33U,	0426594,	5897859
1	25.1	53.22431030958123	13.89937045573595	33U,	0426521,	5897789
2	25.9	53.22367108855963	13.89829336987260	33U,	0426448,	5897719
3	20.6	53.22303185790224	13.89721631609222	33U,	0426375,	5897649
4	18.8	53.22239261760974	13.89613929439357	33U,	0426302,	5897579
5	24.4	53.22175336768279	13.89506230477545	33U,	0426229,	5897509
6	18.2	53.22111410812210	13.89398534723664	33U,	0426156,	5897439
7	15	53.22047483892831	13.89290842177592	33U,	0426083,	5897369
8	16.9	53.21983556010211	13.89183152839208	33U,	0426010,	5897299
9	14.2	53.21919627164420	13.89075466708389	33U,	0425937,	5897229
10	15.6	53.21855697355523	13.88967783785014	33U,	0425864,	5897159
11	16.1	53.21791766583589	13.88860104068961	33U,	0425791,	5897089
12	12.9	53.21727834848684	13.88752427560109	33U,	0425718,	5897019
13	15.7	53.21663902150878	13.88644754258335	33U,	0425645,	5896949
14	15.6	53.2159968490236	13.88537084163518	33U,	0425572,	5896879
15	14.7	53.21536033866831	13.88429417275537	33U,	0425499,	5896809
16	15.3	53.21472098280724	13.88321753594268	33U,	0425426,	5896739
17	14.1	53.21408161731986	13.88214093119592	33U,	0425353,	5896669
18	15.9	53.21344224220685	13.88106435851386	33U,	0425280,	5896599
19	15.2	53.21280285746888	13.87998781789527	33U,	0425207,	5896529
20	17.3	53.21216346310664	13.87891130933896	33U,	0425134,	5896459
21	16	53.21152405912078	13.87783483284369	33U,	0425061,	5896389
22	18.8	53.21088464551200	13.87675838840825	33U,	0424988,	5896319
23	16.6	53.21024522228096	13.87568197603142	33U,	0424915,	5896249
24	16	53.20960578942835	13.87460559571199	33U,	0424842,	5896179
25	16	53.20896634695485	13.87352924744874	33U,	0424769,	5896109
26	14.7	53.20832689486112	13.87245293124044	33U,	0424696,	5896039
27	17.9	53.20768743314785	13.87137664708589	33U,	0424623,	5895969
28	17.2	53.20704796181570	13.87030039498387	33U,	0424550,	5895899
29	14.4	53.20640848086536	13.86922417493315	33U,	0424477,	5895829
30	16.2	53.20576899029754	13.86814798693253	33U,	0424404,	5895759
31	15	53.20512949011285	13.86707183098077	33U,	0424331,	5895689
32	16	53.20448998031199	13.86599570707667	33U,	0424258,	5895619
33	16.5	53.20385046089566	13.86491961521902	33U,	0424185,	5895549
34	17.2	53.20321093186453	13.86384355540658	33U,	0424112,	5895479
35	19.9	53.20257139321924	13.86276752763814	33U,	0424039,	5895409
36	18	53.20193184496051	13.86169153191250	33U,	0423966,	5895339
37	17.4	53.20129228708901	13.86061556822842	33U,	0423893,	5895269
38	15.8	53.20065271960539	13.85953963658469	33U,	0423820,	5895199
39	16	53.20001314251036	13.85846373698009	33U,	0423747,	5895129

## Die geomorphologische Situation unter dem Blickwinkel der DGM2 Laserscann-Bilder

40	<b>19</b>	53.19937355580456	13.85738786941342	33U, 0423674, 5895059
41	<b>16</b>	53.19873395948871	13.85631203388344	33U, 0423601, 5894989
42	<b>16.6</b>	53.19809435356343	13.85523623038894	33U, 0423528, 5894919
43	<b>16</b>	53.19745473802946	13.85416045892870	33U, 0423455, 5894849
44	<b>16.7</b>	53.19681511288743	13.85308471950152	33U, 0423382, 5894779
45	<b>16</b>	53.19617547813803	13.85200901210616	33U, 0423309, 5894709
46	<b>15</b>	53.19553583378193	13.85093333674141	33U, 0423236, 5894639
47	<b>17.3</b>	53.19489617981981	13.84985769340606	33U, 0423163, 5894569
48	<b>19.6</b>	53.19425651625237	13.84878208209888	33U, 0423090, 5894499
49	<b>15.8</b>	53.19361684308026	13.84770650281867	33U, 0423017, 5894429
50	<b>21</b>	53.19297716030415	13.84663095556419	33U, 0422944, 5894359
51	<b>20.8</b>	53.19233746792474	13.84555544033424	33U, 0422871, 5894289
52	<b>19.9</b>	53.19169776594267	13.84447995712760	33U, 0422798, 5894219
53	<b>22.2</b>	53.19105805435866	13.84340450594304	33U, 0422725, 5894149
54	<b>23.5</b>	53.19041833317335	13.84232908677936	33U, 0422652, 5894079
55	<b>30.4</b>	53.18977860238744	13.84125369963533	33U, 0422579, 5894009
56	<b>27.1</b>	53.18913886200159	13.84017834450974	33U, 0422506, 5893939
57	<b>25.8</b>	53.18849911201649	13.83910302140137	33U, 0422433, 5893869
58	<b>31.3</b>	53.18785935243280	13.83802773030900	33U, 0422360, 5893799
59	<b>26.5</b>	53.18721958325121	13.83695247123142	33U, 0422287, 5893729
60	<b>26.1</b>	53.18657980447239	13.83587724416740	33U, 0422214, 5893659
61	<b>31.5</b>	53.18594001609701	13.83480204911574	33U, 0422141, 5893589
62	<b>27.3</b>	53.18530021812576	13.83372688607520	33U, 0422068, 5893519
63	<b>30.7</b>	53.18466041055930	13.83265175504458	33U, 0421995, 5893449
64	<b>26.2</b>	53.18402059339830	13.83157665602266	33U, 0421922, 5893379
65	<b>31.7</b>	53.18338076664346	13.83050158900822	33U, 0421849, 5893309
66	<b>32.2</b>	53.18274093029545	13.82942655400004	33U, 0421776, 5893239
67	<b>35.8</b>	53.18210108435493	13.82835155099690	33U, 0421703, 5893169
68	<b>31.9</b>	53.18146122882260	13.82727657999759	33U, 0421630, 5893099
69	<b>30.8</b>	53.18082136369910	13.82620164100090	33U, 0421557, 5893029
70	<b>39.2</b>	53.18018148898513	13.82512673400559	33U, 0421484, 5892959
71	<b>32.8</b>	53.17954160468136	13.82405185901046	33U, 0421411, 5892889
72	<b>41.4</b>	53.17890171078847	13.82297701601429	33U, 0421338, 5892819
73	<b>32.7</b>	53.17826180730714	13.82190220501586	33U, 0421265, 5892749
74	<b>46.4</b>	53.17762189423803	13.82082742601395	33U, 0421192, 5892679
75	<b>31.8</b>	53.17698197158182	13.81975267900735	33U, 0421119, 5892609
76	<b>31</b>	53.17634203933918	13.81867796399483	33U, 0421046, 5892539
77	<b>26.1</b>	53.17570209751081	13.81760328097518	33U, 0420973, 5892469
78	<b>41</b>	53.17506214609736	13.81652862994719	33U, 0420900, 5892399
79	<b>43</b>	53.17442218509952	13.81545401090963	33U, 0420827, 5892329
80	<b>26</b>	53.17378221451795	13.81437942386129	33U, 0420754, 5892259
81	<b>30.5</b>	53.17314223435334	13.81330486880095	33U, 0420681, 5892189
82	<b>45.6</b>	53.17250224460635	13.81223034572739	33U, 0420608, 5892119
83	<b>26.9</b>	53.17186224527767	13.81115585463940	33U, 0420535, 5892049
84	<b>28.3</b>	53.17122223636797	13.81008139553576	33U, 0420462, 5891979
85	<b>22.5</b>	53.17058221787792	13.80900696841524	33U, 0420389, 5891909
86	<b>25.5</b>	53.16994218980820	13.80793257327664	33U, 0420316, 5891839
87	<b>23.2</b>	53.16930215215949	13.80685821011874	33U, 0420243, 5891769
88	<b>34.4</b>	53.16866210493246	13.80578387894031	33U, 0420170, 5891699
89	<b>26.9</b>	53.16802204812777	13.80470957974014	33U, 0420097, 5891629
90	<b>33.8</b>	53.16738198174613	13.80363531251702	33U, 0420024, 5891559
91	<b>27.5</b>	53.16674190578818	13.80256107726972	33U, 0419951, 5891489
92	<b>31.8</b>	53.16610182025461	13.80148687399703	33U, 0419878, 5891419
93	<b>48.9</b>	53.16546172514611	13.80041270269773	33U, 0419805, 5891349

## Die geomorphologische Situation unter dem Blickwinkel der DGM2 Laserscann-Bilder

94	<b>32.6</b>	53.16482162046331	13.79933856337060	33U, 0419732, 5891279
95	<b>38.7</b>	53.16418150620694	13.79826445601443	33U, 0419659, 5891209
96	<b>52</b>	53.16354138237763	13.79719038062800	33U, 0419586, 5891139
97	<b>49.4</b>	53.16290124897608	13.79611633721008	33U, 0419513, 5891069
98	<b>53.9</b>	53.16226110600295	13.79504232575947	33U, 0419440, 5890999
99	<b>52.5</b>	53.16162095345893	13.79396834627495	33U, 0419367, 5890929
100	<b>47.5</b>	53.16098079134468	13.79289439875529	33U, 0419294, 5890859
101	<b>48</b>	53.16034061966089	13.79182048319928	33U, 0419221, 5890789
102	<b>44</b>	53.15970043840823	13.79074659960571	33U, 0419148, 5890719
103	<b>44.7</b>	53.15906024758736	13.78967274797335	33U, 0419075, 5890649
104	<b>98.7</b>	53.15842004719897	13.78859892830099	33U, 0419002, 5890579
105	<b>84.1</b>	53.15777983724373	13.78752514058741	33U, 0418929, 5890509
106	<b>93.7</b>	53.15713961772231	13.78645138483140	33U, 0418856, 5890439
107	<b>43.8</b>	53.15649938863540	13.78537766103173	33U, 0418783, 5890369
108	<b>51.9</b>	53.15585914998365	13.78430396918719	33U, 0418710, 5890299
109	<b>86.5</b>	53.15521890176775	13.78323030929655	33U, 0418637, 5890229
110	<b>47.6</b>	53.15457864398837	13.78215668135861	33U, 0418564, 5890159
111	<b>84.8</b>	53.15393837664619	13.78108308537215	33U, 0418491, 5890089
112	<b>81</b>	53.15329809974189	13.78000952133594	33U, 0418418, 5890019
113	<b>75.4</b>	53.15265781327612	13.77893598924878	33U, 0418345, 5889949
114	<b>81.6</b>	53.15201751724958	13.77786248910944	33U, 0418272, 5889879
115	<b>87</b>	53.15137721166292	13.77678902091670	33U, 0418199, 5889809
116	<b>85.4</b>	53.15073689651684	13.77571558466935	33U, 0418126, 5889739
117	<b>83.6</b>	53.15009657181201	13.77464218036617	33U, 0418053, 5889669
118	<b>77.6</b>	53.14945623754907	13.77356880800595	33U, 0417980, 5889599
119	<b>77.1</b>	53.14881589372873	13.77249546758746	33U, 0417907, 5889529
120	<b>79.2</b>	53.14817554035165	13.77142215910949	33U, 0417834, 5889459
121	<b>73.1</b>	53.14753517741853	13.77034888257082	33U, 0417761, 5889389
122	<b>77.5</b>	53.14689480493000	13.76927563797023	33U, 0417688, 5889319
123	<b>81.1</b>	53.14625442288677	13.76820242530651	33U, 0417615, 5889249
124	<b>68.4</b>	53.14561403128949	13.76712924457843	33U, 0417542, 5889179
125	<b>62.9</b>	53.14497363013885	13.76605609578479	33U, 0417469, 5889109
126	<b>77.8</b>	53.14433321943552	13.76498297892436	33U, 0417396, 5889039
127	<b>64.7</b>	53.14369279918016	13.76390989399592	33U, 0417323, 5888969
128	<b>63.7</b>	53.14305236937346	13.76283684099826	33U, 0417250, 5888899
129	<b>56.4</b>	53.14241193001610	13.76176381993017	33U, 0417177, 5888829
130	<b>59.8</b>	53.14177148110873	13.76069083079041	33U, 0417104, 5888759
131	<b>58.6</b>	53.14113102265205	13.75961787357778	33U, 0417031, 5888689
132	<b>56.3</b>	53.14049055464672	13.75854494829106	33U, 0416958, 5888619
133	<b>60.1</b>	53.13985007709341	13.75747205492903	33U, 0416885, 5888549
134	<b>55.7</b>	53.13920958999279	13.75639919349047	33U, 0416812, 5888479
135	<b>57.6</b>	53.13856909334556	13.75532636397417	33U, 0416739, 5888409
136	<b>55.1</b>	53.13792858715237	13.75425356637891	33U, 0416666, 5888339
137	<b>59.9</b>	53.13728807141390	13.75318080070346	33U, 0416593, 5888269
138	<b>57</b>	53.13664754613081	13.75210806694662	33U, 0416520, 5888199
139	<b>57.7</b>	53.13600701130380	13.75103536510716	33U, 0416447, 5888129
140	<b>60.5</b>	53.13536646693353	13.74996269518388	33U, 0416374, 5888059
141	<b>62</b>	53.13472591302066	13.74889005717554	33U, 0416301, 5887989
142	<b>60.5</b>	53.13408534956589	13.74781745108093	33U, 0416228, 5887919
143	<b>60</b>	53.13344477656988	13.74674487689884	33U, 0416155, 5887849
144	<b>58.7</b>	53.13280419403330	13.74567233462805	33U, 0416082, 5887779
145	<b>60.2</b>	53.13216360195684	13.74459982426734	33U, 0416009, 5887709
146	<b>65.1</b>	53.13152300034115	13.74352734581549	33U, 0415936, 5887639
147	<b>74.4</b>	53.13088238918691	13.74245489927129	33U, 0415863, 5887569

## Die geomorphologische Situation unter dem Blickwinkel der DGM2 Laserscann-Bilder

148	<b>68.4</b>	53.13024176849480	13.74138248463351	33U, 0415790, 5887499
149	<b>66.3</b>	53.12960113826550	13.74031010190094	33U, 0415717, 5887429
150	<b>66.2</b>	53.12896049849967	13.73923775107237	33U, 0415644, 5887359
151	<b>59.6</b>	53.12831984919799	13.73816543214657	33U, 0415571, 5887289
152	<b>63.3</b>	53.12767919036112	13.73709314512233	33U, 0415498, 5887219
153	<b>64.4</b>	53.12703852198975	13.73602088999843	33U, 0415425, 5887149
154	<b>64.7</b>	53.12639784408455	13.73494866677365	33U, 0415352, 5887079
155	<b>67.3</b>	53.12575715664619	13.73387647544678	33U, 0415279, 5887009
156	<b>69.5</b>	53.12511645967534	13.73280431601659	33U, 0415206, 5886939
157	<b>66.7</b>	53.12447575317267	13.73173218848187	33U, 0415133, 5886869
158	<b>72.3</b>	53.12383503713887	13.73066009284141	33U, 0415060, 5886799
159	<b>62.9</b>	53.12319431157461	13.72958802909398	33U, 0414987, 5886729
160	<b>64.2</b>	53.12255357648055	13.72851599723837	33U, 0414914, 5886659
161	<b>71.9</b>	53.12191283185736	13.72744399727336	33U, 0414841, 5886589
162	<b>64.5</b>	53.12127207770572	13.72637202919773	33U, 0414768, 5886519
163	<b>56.8</b>	53.12063131402631	13.72530009301027	33U, 0414695, 5886449
164	<b>56.5</b>	53.11999054081979	13.72422818870976	33U, 0414622, 5886379
165	<b>55.1</b>	53.11934975808686	13.72315631629497	33U, 0414549, 5886309
166	<b>53.7</b>	53.11870896582816	13.72208447576470	33U, 0414476, 5886239
167	<b>53.2</b>	53.11806816404439	13.72101266711772	33U, 0414403, 5886169
168	<b>53</b>	53.11742735273618	13.71994089035281	33U, 0414330, 5886099
169	<b>69.9</b>	53.11678653190425	13.71886914546877	33U, 0414257, 5886029
170	<b>53.6</b>	53.11614570154924	13.71779743246437	33U, 0414184, 5885959
171	<b>68.5</b>	53.11550486167186	13.71672575133840	33U, 0414111, 5885889
172	<b>61.7</b>	53.11486401227274	13.71565410208963	33U, 0414038, 5885819
173	<b>60.8</b>	53.11422315335258	13.71458248471686	33U, 0413965, 5885749
174	<b>68</b>	53.11358228491205	13.71351089921885	33U, 0413892, 5885679
175	<b>71.3</b>	53.11294140695180	13.71243934559440	33U, 0413819, 5885609
176	<b>65.4</b>	53.11230051947253	13.71136782384229	33U, 0413746, 5885539
177	<b>67.6</b>	53.11165962247490	13.71029633396130	33U, 0413673, 5885469
178	<b>70.7</b>	53.11101871595959	13.70922487595020	33U, 0413600, 5885399
179	<b>76.7</b>	53.11037779992726	13.70815344980780	33U, 0413527, 5885329
180	<b>65.5</b>	53.10973687437860	13.70708205553286	33U, 0413454, 5885259
181	<b>80.4</b>	53.10909593931427	13.70601069312417	33U, 0413381, 5885189
182	<b>77.2</b>	53.10845499473493	13.70493936258051	33U, 0413308, 5885119
183	<b>61.3</b>	53.10781404064128	13.70386806390067	33U, 0413235, 5885049
184	<b>63.7</b>	53.10717307703399	13.70279679708342	33U, 0413162, 5884979
185	<b>81.7</b>	53.10653210391370	13.70172556212755	33U, 0413089, 5884909
186	<b>63</b>	53.10589112128112	13.70065435903185	33U, 0413016, 5884839
187	<b>78.9</b>	53.10525012913688	13.69958318779509	33U, 0412943, 5884769
188	<b>59.6</b>	53.10460912748171	13.69851204841606	33U, 0412870, 5884699
189	<b>59.3</b>	53.10396811631625	13.69744094089353	33U, 0412797, 5884629
190	<b>59.1</b>	53.10332709564115	13.69636986522630	33U, 0412724, 5884559
191	<b>64</b>	53.10268606545712	13.69529882141315	33U, 0412651, 5884489
192	<b>63.5</b>	53.10204502576480	13.69422780945285	33U, 0412578, 5884419
193	<b>73.7</b>	53.10140397656490	13.69315682934419	33U, 0412505, 5884349
194	<b>75.9</b>	53.10076291785806	13.69208588108595	33U, 0412432, 5884279
195	<b>74.8</b>	53.10012184964498	13.69101496467691	33U, 0412359, 5884209
196	<b>74.6</b>	53.09948077192629	13.68994408011587	33U, 0412286, 5884139
197	<b>62.2</b>	53.09883968470270	13.68887322740159	33U, 0412213, 5884069
198	<b>76.5</b>	53.09819858797488	13.68780240653286	33U, 0412140, 5883999
199	<b>75.2</b>	53.09755748174347	13.68673161750847	33U, 0412067, 5883929
200	<b>73.3</b>	53.09691636600918	13.68566086032719	33U, 0411994, 5883859
201	<b>72.4</b>	53.09627524077265	13.68459013498782	33U, 0411921, 5883789

## Die geomorphologische Situation unter dem Blickwinkel der DGM2 Laserscann-Bilder

202	74.5	53.09563410603457	13.68351944148913	33U, 0411848, 5883719
203	80	53.09499296179563	13.68244877982990	33U, 0411775, 5883649
204	75.9	53.09435180805645	13.68137815000891	33U, 0411702, 5883579
205	81.8	53.09371064481775	13.68030755202496	33U, 0411629, 5883509
206	78.1	53.09306947208017	13.67923698587682	33U, 0411556, 5883439
207	81.4	53.09242828984441	13.67816645156327	33U, 0411483, 5883369
208	80.6	53.09178709811113	13.67709594908310	33U, 0411410, 5883299
209	75.1	53.09114589688100	13.67602547843509	33U, 0411337, 5883229
210	74	53.09050468615467	13.67495503961802	33U, 0411264, 5883159
211	72.6	53.08986346593285	13.67388463263068	33U, 0411191, 5883089
212	77.6	53.08922223621619	13.67281425747184	33U, 0411118, 5883019
213	70.9	53.08858099700536	13.67174391414029	33U, 0411045, 5882949
214	71.7	53.08793974830105	13.67067360263481	33U, 0410972, 5882879
215	72.8	53.08729849010390	13.66960332295419	33U, 0410899, 5882809
216	77.4	53.08665722241460	13.66853307509720	33U, 0410826, 5882739
217	76.7	53.08601594523384	13.66746285906263	33U, 0410753, 5882669
218	75.4	53.08537465856227	13.66639267484927	33U, 0410680, 5882599
219	72.3	53.08473336240055	13.66532252245588	33U, 0410607, 5882529
220	70.9	53.08409205674937	13.66425240188127	33U, 0410534, 5882459
221	71.2	53.08345074160940	13.66318231312420	33U, 0410461, 5882389
222	65.5	53.08280941698131	13.66211225618347	33U, 0410388, 5882319
223	67.2	53.08216808286577	13.66104223105785	33U, 0410315, 5882249
224	71.5	53.08152673926345	13.65997223774612	33U, 0410242, 5882179
225	67.8	53.08088538617501	13.65890227624708	33U, 0410169, 5882109
226	62.2	53.08024402360115	13.65783234655950	33U, 0410096, 5882039
227	53.2	53.07960265154252	13.65676244868216	33U, 0410023, 5881969
228	47.1	53.07896126999979	13.65569258261385	33U, 0409950, 5881899
229	52.5	53.07831987897364	13.65462274835334	33U, 0409877, 5881829
230	48.8	53.07767847846473	13.65355294589943	33U, 0409804, 5881759
231	48	53.07703706847374	13.65248317525089	33U, 0409731, 5881689
232	49.8	53.07639564900134	13.65141343640651	33U, 0409658, 5881619
233	51.6	53.07575422004822	13.65034372936507	33U, 0409585, 5881549
234	50.2	53.07511278161501	13.64927405412535	33U, 0409512, 5881479
235	63	53.07447133370241	13.64820441068613	33U, 0409439, 5881409
236	81.8	53.07382987631107	13.64713479904620	33U, 0409366, 5881339
237	86.5	53.07318840944170	13.64606521920434	33U, 0409293, 5881269
238	84.3	53.07254693309493	13.64499567115933	33U, 0409220, 5881199
239	91.3	53.07190544727144	13.64392615490996	33U, 0409147, 5881129
240	88.3	53.07126395197192	13.64285667045500	33U, 0409074, 5881059
241	70	53.07062244719701	13.64178721779324	33U, 0409001, 5880989
242	91	53.06998093294742	13.64071779692346	33U, 0408928, 5880919
243	70.4	53.06933940922379	13.63964840784445	33U, 0408855, 5880849
244	62.7	53.06869787602680	13.63857905055498	33U, 0408782, 5880779
245	61	53.06805633335712	13.63750972505385	33U, 0408709, 5880709
246	67.1	53.06741478121541	13.63644043133982	33U, 0408636, 5880639
247	55.5	53.06677321960237	13.63537116941169	33U, 0408563, 5880569
248	79.5	53.06613164851865	13.63430193926823	33U, 0408490, 5880499
249	68.5	53.06549006796491	13.63323274090824	33U, 0408417, 5880429
250	75.8	53.06484847794184	13.63216357433048	33U, 0408344, 5880359
251	63.6	53.06420687845012	13.63109443953375	33U, 0408271, 5880289
252	64.7	53.06356526949038	13.63002533651683	33U, 0408198, 5880219
253	63.5	53.06292365106332	13.62895626527849	33U, 0408125, 5880149
254	72.2	53.06228202316962	13.62788722581753	33U, 0408052, 5880079
255	63.5	53.06164038580992	13.62681821813272	33U, 0407979, 5880009

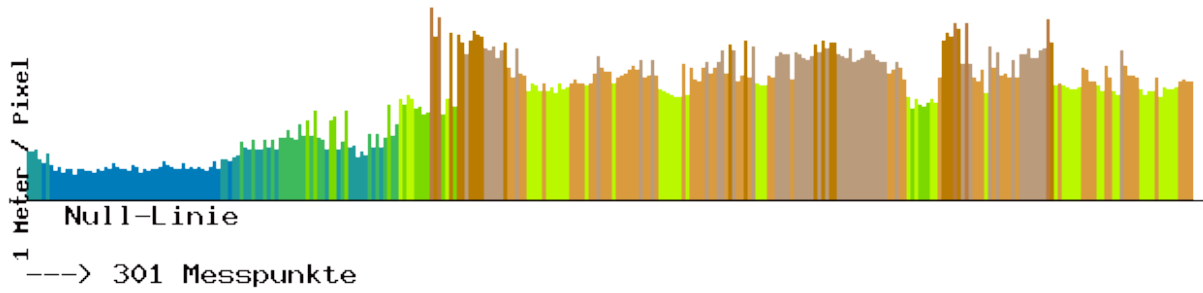
## Die geomorphologische Situation unter dem Blickwinkel der DGM2 Laserscann-Bilder

256	75.5	53.06099873898491	13.62574924222285	33U, 0407906, 5879939
257	74.9	53.06035708269526	13.62468029808670	33U, 0407833, 5879869
258	77.7	53.05971541694164	13.62361138572305	33U, 0407760, 5879799
259	73	53.05907374172470	13.62254250513068	33U, 0407687, 5879729
260	73	53.05843205704514	13.62147365630838	33U, 0407614, 5879659
261	76.8	53.05779036290362	13.62040483925493	33U, 0407541, 5879589
262	78.1	53.05714865930081	13.61933605396912	33U, 0407468, 5879519
263	93.4	53.05650694623738	13.61826730044971	33U, 0407395, 5879449
264	80.9	53.05586522371398	13.61719857869550	33U, 0407322, 5879379
265	59.4	53.05522349173130	13.61612988870528	33U, 0407249, 5879309
266	60.2	53.05458175029002	13.61506123047781	33U, 0407176, 5879239
267	58.9	53.05393999939079	13.61399260401189	33U, 0407103, 5879169
268	57.9	53.05329823903430	13.61292400930630	33U, 0407030, 5879099
269	57.3	53.05265646922120	13.61185544635981	33U, 0406957, 5879029
270	57	53.05201468995217	13.61078691517122	33U, 0406884, 5878959
271	57.6	53.05137290122787	13.60971841573930	33U, 0406811, 5878889
272	68.4	53.05073110304900	13.60864994806284	33U, 0406738, 5878819
273	66.6	53.05008929541619	13.60758151214062	33U, 0406665, 5878749
274	61.2	53.04944747833012	13.60651310797142	33U, 0406592, 5878679
275	60.9	53.04880565179150	13.60544473555403	33U, 0406519, 5878609
276	59.3	53.04816381580094	13.60437639488722	33U, 0406446, 5878539
277	56.5	53.04752197035915	13.60330808596978	33U, 0406373, 5878469
278	69.4	53.04688011546678	13.60223980880049	33U, 0406300, 5878399
279	63.4	53.04623825112451	13.60117156337814	33U, 0406227, 5878329
280	56.4	53.04559637733302	13.60010334970151	33U, 0406154, 5878259
281	54.2	53.04495449409293	13.59903516776938	33U, 0406081, 5878189
282	76.7	53.04431260140499	13.59796701758053	33U, 0406008, 5878119
283	69.4	53.04367069926980	13.59689889913374	33U, 0405935, 5878049
284	64.3	53.04302878768806	13.59583081242780	33U, 0405862, 5877979
285	63.6	53.04238686666044	13.59476275746149	33U, 0405789, 5877909
286	63	53.04174493618760	13.59369473423360	33U, 0405716, 5877839
287	57.5	53.04110299627021	13.59262674274290	33U, 0405643, 5877769
288	53.6	53.04046104690894	13.59155878298817	33U, 0405570, 5877699
289	56.1	53.03981908810447	13.59049085496821	33U, 0405497, 5877629
290	56.2	53.03917711985747	13.58942295868179	33U, 0405424, 5877559
291	62.9	53.03853514216860	13.58835509412770	33U, 0405351, 5877489
292	53	53.03789315503852	13.58728726130471	33U, 0405278, 5877419
293	58.2	53.03725115846791	13.58621946021161	33U, 0405205, 5877349
294	57.2	53.03660915245744	13.58515169084719	33U, 0405132, 5877279
295	56.6	53.03596713700780	13.58408395321022	33U, 0405059, 5877209
296	58.3	53.03532511211962	13.58301624729949	33U, 0404986, 5877139
297	61.3	53.03468307779359	13.58194857311378	33U, 0404913, 5877069
298	61.6	53.03404103403038	13.58088093065188	33U, 0404840, 5876999
299	61	53.03339898083065	13.57981331991255	33U, 0404767, 5876929
300	60.7	53.03275691819509	13.5787457408946	33U, 0404694, 5876859

Der Geländeschnitt beginnt bei den				
Geokoordinaten		UTM-Koordinaten		
° Nord	° Ost	Zone	Ost	Nord
53.224946288810635	13.90045166015625	33U	0426594	5897859
und endet bei den Koordinaten				

# Die geomorphologische Situation unter dem Blickwinkel der DGM2 Laserscann-Bilder

53.03275691819509	13.5787457408946	33U	0404694 5876859
Niedrigste Höhe:		12.9 m NHN	
Größte Höhe:		98.7 m NHN	
Der Geländeschnitt ist		30341 m lang	
Der Abstand zwischen den Messpunkten beträgt		101.13 m	



**Märkische Eiszeitstrasse. Natur und Landschaft. Geologisches.**

**Die Höhenangabe über NHN**

alle Angaben ohne Garantie!

**Geländeschnitt 8**

**Die Messpunkte:**

Pkt	Meter		Geo - Koordinaten		UTM - Koordinaten
	NHN	° Nord	° Ost		Zone, Ostwert, Nordwert
0	62.7	53.05451121564449	13.7111829550263		33U, 0413618, 5879111
1	68.9	53.05450212623034	13.71200386284555		33U, 0413673, 5879109
2	61.8	53.05449303114936	13.71282477041478		33U, 0413728, 5879107
3	60	53.05448393040158	13.71364567773379		33U, 0413783, 5879105
4	66.2	53.05447482398696	13.71446658480230		33U, 0413838, 5879103
5	62.3	53.05446571190555	13.71528749162002		33U, 0413893, 5879101
6	62.4	53.05445659415734	13.71610839818669		33U, 0413948, 5879099
7	60.4	53.05444747074233	13.71692930450203		33U, 0414003, 5879097
8	61.9	53.05443834166052	13.71775021056576		33U, 0414058, 5879095
9	61.8	53.05442920691191	13.71857111637761		33U, 0414113, 5879093
10	81.8	53.05442006649653	13.71939202193729		33U, 0414168, 5879091
11	87.3	53.05441092041436	13.72021292724454		33U, 0414223, 5879089
12	71.1	53.05440176866541	13.72103383229908		33U, 0414278, 5879087
13	76.5	53.05439261124970	13.72185473710062		33U, 0414333, 5879085
14	62.2	53.05438344816720	13.72267564164891		33U, 0414388, 5879083
15	69.3	53.05437427941796	13.72349654594365		33U, 0414443, 5879081
16	81.1	53.05436510500194	13.72431744998457		33U, 0414498, 5879079
17	77.7	53.05435592491917	13.72513835377140		33U, 0414553, 5879077
18	77.6	53.05434673916965	13.72595925730386		33U, 0414608, 5879075
19	74.7	53.05433754775338	13.72678016058168		33U, 0414663, 5879073
20	83.9	53.05432835067036	13.72760106360457		33U, 0414718, 5879071
21	82.1	53.05431914792061	13.72842196637227		33U, 0414773, 5879069
22	77.1	53.05430993950413	13.72924286888449		33U, 0414828, 5879067
23	86.2	53.05430072542091	13.73006377114096		33U, 0414883, 5879065
24	81.9	53.05429150567097	13.73088467314140		33U, 0414938, 5879063
25	80.4	53.05428228025430	13.73170557488555		33U, 0414993, 5879061
26	78.1	53.05427304917092	13.73252647637311		33U, 0415048, 5879059
27	79.1	53.05426381242083	13.73334737760382		33U, 0415103, 5879057
28	74.4	53.05425457000403	13.73416827857739		33U, 0415158, 5879055
29	72	53.05424532192053	13.73498917929356		33U, 0415213, 5879053
30	76.1	53.05423606817031	13.73581007975205		33U, 0415268, 5879051
31	80.7	53.05422680875342	13.73663097995257		33U, 0415323, 5879049
32	76.3	53.05421754366983	13.73745187989486		33U, 0415378, 5879047
33	69.7	53.05420827291955	13.73827277957864		33U, 0415433, 5879045
34	79.4	53.05419899650259	13.73909367900363		33U, 0415488, 5879043
35	75.7	53.05418971441895	13.73991457816956		33U, 0415543, 5879041
36	79	53.05418042666864	13.74073547707615		33U, 0415598, 5879039
37	69.2	53.05417113325166	13.74155637572312		33U, 0415653, 5879037
38	79.2	53.05416183416801	13.74237727411019		33U, 0415708, 5879035
39	75.9	53.05415252941772	13.74319817223710		33U, 0415763, 5879033
40	80.4	53.05414321900075	13.74401907010357		33U, 0415818, 5879031
41	73	53.05413390291714	13.74483996770931		33U, 0415873, 5879029
42	72.6	53.05412458116688	13.74566086505405		33U, 0415928, 5879027

## Die geomorphologische Situation unter dem Blickwinkel der DGM2 Laserscann-Bilder

43	<b>79.5</b>	53.05411525374999	13.74648176213752	33U, 0415983, 5879025
44	<b>69.7</b>	53.05410592066646	13.74730265895945	33U, 0416038, 5879023
45	<b>83.9</b>	53.05409658191628	13.74812355551954	33U, 0416093, 5879021
46	<b>78.3</b>	53.05408723749947	13.74894445181754	33U, 0416148, 5879019
47	<b>78.5</b>	53.05407788741606	13.74976534785316	33U, 0416203, 5879017
48	<b>81.8</b>	53.05406853166602	13.75058624362612	33U, 0416258, 5879015
49	<b>79.4</b>	53.05405917024937	13.75140713913616	33U, 0416313, 5879013
50	<b>88.4</b>	53.05404980316609	13.75222803438298	33U, 0416368, 5879011
51	<b>86.4</b>	53.05404043041622	13.75304892936633	33U, 0416423, 5879009
52	<b>66.3</b>	53.05403105199973	13.75386982408591	33U, 0416478, 5879007
53	<b>85.1</b>	53.05402166791666	13.75469071854147	33U, 0416533, 5879005
54	<b>65.6</b>	53.05401227816699	13.75551161273271	33U, 0416588, 5879003
55	<b>84.7</b>	53.05400288275074	13.75633250665936	33U, 0416643, 5879001
56	<b>85.4</b>	53.05399348166790	13.75715340032115	33U, 0416698, 5878999
57	<b>66.6</b>	53.05398407491847	13.75797429371780	33U, 0416753, 5878997
58	<b>67.1</b>	53.05397466250248	13.75879518684904	33U, 0416808, 5878995
59	<b>68.2</b>	53.05396524441991	13.75961607971459	33U, 0416863, 5878993
60	<b>66.7</b>	53.05395582067078	13.76043697231416	33U, 0416918, 5878991
61	<b>69.6</b>	53.05394639125508	13.76125786464750	33U, 0416973, 5878989
62	<b>78</b>	53.05393695617283	13.76207875671431	33U, 0417028, 5878987
63	<b>70.9</b>	53.05392751542402	13.76289964851433	33U, 0417083, 5878985
64	<b>72.3</b>	53.05391806900868	13.76372054004728	33U, 0417138, 5878983
65	<b>73.9</b>	53.05390861692679	13.76454143131287	33U, 0417193, 5878981
66	<b>70</b>	53.05389915917834	13.76536232231085	33U, 0417248, 5878979
67	<b>89.1</b>	53.05388969576338	13.76618321304092	33U, 0417303, 5878977
68	<b>65.6</b>	53.05388022668188	13.76700410350282	33U, 0417358, 5878975
69	<b>66.3</b>	53.05387075193387	13.76782499369626	33U, 0417413, 5878973
70	<b>61.2</b>	53.05386127151932	13.76864588362098	33U, 0417468, 5878971
71	<b>61.4</b>	53.05385178543825	13.76946677327669	33U, 0417523, 5878969
72	<b>83.5</b>	53.05384229369067	13.77028766266312	33U, 0417578, 5878967
73	<b>75.1</b>	53.05383279627660	13.77110855177999	33U, 0417633, 5878965
74	<b>79.5</b>	53.05382329319602	13.77192944062703	33U, 0417688, 5878963
75	<b>85.5</b>	53.05381378444894	13.77275032920396	33U, 0417743, 5878961
76	<b>65.3</b>	53.05380427003536	13.77357121751050	33U, 0417798, 5878959
77	<b>76.1</b>	53.05379474995529	13.77439210554638	33U, 0417853, 5878957
78	<b>89.1</b>	53.05378522420876	13.77521299331133	33U, 0417908, 5878955
79	<b>70</b>	53.05377569279573	13.77603388080506	33U, 0417963, 5878953
80	<b>70.2</b>	53.05376615571623	13.77685476802730	33U, 0418018, 5878951
81	<b>63.2</b>	53.05375661297025	13.77767565497778	33U, 0418073, 5878949
82	<b>72.9</b>	53.05374706455782	13.77849654165621	33U, 0418128, 5878947
83	<b>70.1</b>	53.05373751047892	13.77931742806232	33U, 0418183, 5878945
84	<b>70.7</b>	53.05372795073357	13.78013831419584	33U, 0418238, 5878943
85	<b>80.4</b>	53.05371838532176	13.78095920005649	33U, 0418293, 5878941
86	<b>75.1</b>	53.05370881424350	13.78178008564400	33U, 0418348, 5878939
87	<b>75.2</b>	53.05369923749880	13.78260097095808	33U, 0418403, 5878937
88	<b>76.1</b>	53.05368965508768	13.78342185599846	33U, 0418458, 5878935
89	<b>74.6</b>	53.05368006701011	13.78424274076486	33U, 0418513, 5878933
90	<b>81.2</b>	53.05367047326612	13.78506362525702	33U, 0418568, 5878931
91	<b>78.5</b>	53.05366087385570	13.78588450947465	33U, 0418623, 5878929
92	<b>75.2</b>	53.05365126877886	13.78670539341747	33U, 0418678, 5878927
93	<b>88.9</b>	53.05364165803559	13.78752627708522	33U, 0418733, 5878925
94	<b>66.5</b>	53.05363204162593	13.78834716047761	33U, 0418788, 5878923
95	<b>63</b>	53.05362241954986	13.78916804359437	33U, 0418843, 5878921
96	<b>63.3</b>	53.05361279180740	13.78998892643522	33U, 0418898, 5878919

## Die geomorphologische Situation unter dem Blickwinkel der DGM2 Laserscann-Bilder

97	<b>86.3</b>	53.05360315839852	13.79080980899989	33U, 0418953, 5878917
98	<b>86.9</b>	53.05359351932326	13.79163069128809	33U, 0419008, 5878915
99	<b>86.3</b>	53.05358387458162	13.79245157329956	33U, 0419063, 5878913
100	<b>87.7</b>	53.05357422417359	13.79327245503402	33U, 0419118, 5878911
101	<b>79.8</b>	53.05356456809918	13.79409333649119	33U, 0419173, 5878909
102	<b>87.3</b>	53.05355490635841	13.79491421767080	33U, 0419228, 5878907
103	<b>77.1</b>	53.05354523895126	13.79573509857257	33U, 0419283, 5878905
104	<b>78.8</b>	53.05353556587775	13.79655597919622	33U, 0419338, 5878903
105	<b>83.3</b>	53.05352588713789	13.79737685954148	33U, 0419393, 5878901
106	<b>75.1</b>	53.05351620273167	13.79819773960806	33U, 0419448, 5878899
107	<b>86.2</b>	53.05350651265908	13.79901861939571	33U, 0419503, 5878897
108	<b>88.2</b>	53.05349681692017	13.79983949890413	33U, 0419558, 5878895
109	<b>80.5</b>	53.05348711551492	13.80066037813306	33U, 0419613, 5878893
110	<b>67.7</b>	53.05347740844334	13.80148125708221	33U, 0419668, 5878891
111	<b>68.9</b>	53.05346769570541	13.80230213575132	33U, 0419723, 5878889
112	<b>70</b>	53.05345797730116	13.80312301414009	33U, 0419778, 5878887
113	<b>76.4</b>	53.05344825323059	13.80394389224827	33U, 0419833, 5878885
114	<b>83.1</b>	53.05343852349372	13.80476477007557	33U, 0419888, 5878883
115	<b>72</b>	53.05342878809051	13.80558564762172	33U, 0419943, 5878881
116	<b>70.3</b>	53.05341904702102	13.80640652488644	33U, 0419998, 5878879
117	<b>81.5</b>	53.05340930028521	13.80722740186945	33U, 0420053, 5878877
118	<b>82.3</b>	53.05339954788311	13.80804827857048	33U, 0420108, 5878875
119	<b>77.8</b>	53.05338978981472	13.80886915498925	33U, 0420163, 5878873
120	<b>65</b>	53.05338002608005	13.80969003112549	33U, 0420218, 5878871
121	<b>71.8</b>	53.05337025667909	13.81051090697892	33U, 0420273, 5878869
122	<b>68.3</b>	53.05336048161185	13.81133178254926	33U, 0420328, 5878867
123	<b>88.9</b>	53.05335070087833	13.81215265783624	33U, 0420383, 5878865
124	<b>64.8</b>	53.05334091447855	13.81297353283958	33U, 0420438, 5878863
125	<b>86.8</b>	53.05333112241250	13.81379440755901	33U, 0420493, 5878861
126	<b>87.5</b>	53.05332132468020	13.81461528199425	33U, 0420548, 5878859
127	<b>64.8</b>	53.05331152128164	13.81543615614502	33U, 0420603, 5878857
128	<b>64</b>	53.05330171221682	13.81625703001104	33U, 0420658, 5878855
129	<b>86.9</b>	53.05329189748578	13.81707790359206	33U, 0420713, 5878853
130	<b>63.6</b>	53.05328207708848	13.81789877688777	33U, 0420768, 5878851
131	<b>88.4</b>	53.05327225102496	13.81871964989791	33U, 0420823, 5878849
132	<b>63.2</b>	53.05326241929520	13.81954052262221	33U, 0420878, 5878847
133	<b>86.1</b>	53.05325258189922	13.82036139506038	33U, 0420933, 5878845
134	<b>64.1</b>	53.05324273883702	13.82118226721216	33U, 0420988, 5878843
135	<b>63.7</b>	53.05323289010861	13.82200313907726	33U, 0421043, 5878841
136	<b>63.9</b>	53.05322303571398	13.82282401065541	33U, 0421098, 5878839
137	<b>84.5</b>	53.05321317565315	13.82364488194633	33U, 0421153, 5878837
138	<b>63.1</b>	53.05320330992611	13.82446575294975	33U, 0421208, 5878835
139	<b>80.3</b>	53.05319343853287	13.82528662366539	33U, 0421263, 5878833
140	<b>74.5</b>	53.05318356147345	13.82610749409297	33U, 0421318, 5878831
141	<b>63.1</b>	53.05317367874785	13.82692836423222	33U, 0421373, 5878829
142	<b>87.8</b>	53.05316379035607	13.82774923408287	33U, 0421428, 5878827
143	<b>62.2</b>	53.05315389629809	13.82857010364463	33U, 0421483, 5878825
144	<b>76.8</b>	53.05314399657395	13.82939097291723	33U, 0421538, 5878823
145	<b>67</b>	53.05313409118365	13.83021184190040	33U, 0421593, 5878821
146	<b>83.2</b>	53.05312418012719	13.83103271059385	33U, 0421648, 5878819
147	<b>70.6</b>	53.05311426340457	13.83185357899731	33U, 0421703, 5878817
148	<b>75.6</b>	53.05310434101578	13.83267444711052	33U, 0421758, 5878815
149	<b>87.2</b>	53.05309441296085	13.83349531493318	33U, 0421813, 5878813
150	<b>88.9</b>	53.05308447923980	13.83431618246503	33U, 0421868, 5878811

## Die geomorphologische Situation unter dem Blickwinkel der DGM2 Laserscann-Bilder

151	<b>85.6</b>	53.05307453985260	13.83513704970578	33U, 0421923, 5878809
152	<b>87.6</b>	53.05306459479926	13.83595791665516	33U, 0421978, 5878807
153	<b>87.5</b>	53.05305464407978	13.83677878331291	33U, 0422033, 5878805
154	<b>87.2</b>	53.05304468769420	13.83759964967873	33U, 0422088, 5878803
155	<b>88</b>	53.05303472564251	13.83842051575235	33U, 0422143, 5878801
156	<b>87.1</b>	53.05302475792469	13.83924138153350	33U, 0422198, 5878799
157	<b>87.8</b>	53.05301478454077	13.84006224702190	33U, 0422253, 5878797
158	<b>87.3</b>	53.05300480549073	13.84088311221728	33U, 0422308, 5878795
159	<b>87.7</b>	53.05299482077460	13.84170397711936	33U, 0422363, 5878793
160	<b>77.9</b>	53.05298483039239	13.84252484172786	33U, 0422418, 5878791
161	<b>77</b>	53.05297483434408	13.84334570604251	33U, 0422473, 5878789
162	<b>77.9</b>	53.05296483262969	13.84416657006303	33U, 0422528, 5878787
163	<b>83.8</b>	53.05295482524922	13.84498743378915	33U, 0422583, 5878785
164	<b>75.2</b>	53.05294481220268	13.84580829722058	33U, 0422638, 5878783
165	<b>79.7</b>	53.05293479349007	13.84662916035706	33U, 0422693, 5878781
166	<b>86.7</b>	53.05292476911140	13.84745002319830	33U, 0422748, 5878779
167	<b>78.6</b>	53.05291473906666	13.84827088574404	33U, 0422803, 5878777
168	<b>75</b>	53.05290470335588	13.84909174799399	33U, 0422858, 5878775
169	<b>88.9</b>	53.05289466197903	13.84991260994788	33U, 0422913, 5878773
170	<b>89.5</b>	53.05288461493615	13.85073347160543	33U, 0422968, 5878771
171	<b>74</b>	53.05287456222725	13.85155433296637	33U, 0423023, 5878769
172	<b>88.1</b>	53.05286450385229	13.85237519403042	33U, 0423078, 5878767
173	<b>89.1</b>	53.05285443981131	13.85319605479730	33U, 0423133, 5878765
174	<b>89.3</b>	53.05284437010431	13.85401691526674	33U, 0423188, 5878763
175	<b>77.5</b>	53.05283429473128	13.85483777543847	33U, 0423243, 5878761
176	<b>82.1</b>	53.05282421369226	13.85565863531220	33U, 0423298, 5878759
177	<b>80.2</b>	53.05281412698722	13.85647949488766	33U, 0423353, 5878757
178	<b>90.4</b>	53.05280403461617	13.85730035416458	33U, 0423408, 5878755
179	<b>90.7</b>	53.05279393657911	13.85812121314268	33U, 0423463, 5878753
180	<b>76.1</b>	53.05278383287608	13.85894207182167	33U, 0423518, 5878751
181	<b>75.7</b>	53.05277372350705	13.85976293020130	33U, 0423573, 5878749
182	<b>78.1</b>	53.05276360847205	13.86058378828127	33U, 0423628, 5878747
183	<b>84.5</b>	53.05275348777106	13.86140464606132	33U, 0423683, 5878745
184	<b>84</b>	53.05274336140409	13.86222550354117	33U, 0423738, 5878743
185	<b>79</b>	53.05273322937116	13.86304636072053	33U, 0423793, 5878741
186	<b>83.2</b>	53.05272309167227	13.86386721759915	33U, 0423848, 5878739
187	<b>74.4</b>	53.05271294830742	13.86468807417674	33U, 0423903, 5878737
188	<b>76.1</b>	53.05270279927662	13.86550893045301	33U, 0423958, 5878735
189	<b>76.5</b>	53.05269264457986	13.86632978642771	33U, 0424013, 5878733
190	<b>77.7</b>	53.05268248421716	13.86715064210055	33U, 0424068, 5878731
191	<b>75.5</b>	53.05267231818853	13.86797149747126	33U, 0424123, 5878729
192	<b>74.9</b>	53.05266214649397	13.86879235253955	33U, 0424178, 5878727
193	<b>77.4</b>	53.05265196913347	13.86961320730516	33U, 0424233, 5878725
194	<b>75</b>	53.05264178610706	13.87043406176781	33U, 0424288, 5878723
195	<b>77.2</b>	53.05263159741471	13.87125491592722	33U, 0424343, 5878721
196	<b>78.1</b>	53.05262140305648	13.87207576978311	33U, 0424398, 5878719
197	<b>65.8</b>	53.05261120303231	13.87289662333522	33U, 0424453, 5878717
198	<b>77.7</b>	53.05260099734227	13.87371747658326	33U, 0424508, 5878715
199	<b>71.1</b>	53.05259078598631	13.87453832952695	33U, 0424563, 5878713
200	<b>75.2</b>	53.05258056896447	13.87535918216603	33U, 0424618, 5878711
201	<b>67.9</b>	53.05257034627674	13.87618003450022	33U, 0424673, 5878709
202	<b>65.5</b>	53.05256011792313	13.87700088652923	33U, 0424728, 5878707
203	<b>71.3</b>	53.05254988390364	13.87782173825280	33U, 0424783, 5878705
204	<b>89.7</b>	53.05253964421828	13.87864258967064	33U, 0424838, 5878703

## Die geomorphologische Situation unter dem Blickwinkel der DGM2 Laserscann-Bilder

205	<b>88.1</b>	53.05252939886704	13.87946344078249	33U, 0424893, 5878701
206	<b>92.6</b>	53.05251914784995	13.88028429158806	33U, 0424948, 5878699
207	<b>82.4</b>	53.05250889116701	13.88110514208708	33U, 0425003, 5878697
208	<b>81.6</b>	53.05249862881822	13.88192599227928	33U, 0425058, 5878695
209	<b>88.3</b>	53.05248836080358	13.88274684216437	33U, 0425113, 5878693
210	<b>92</b>	53.05247808712309	13.88356769174209	33U, 0425168, 5878691
211	<b>84.7</b>	53.05246780777677	13.88438854101215	33U, 0425223, 5878689
212	<b>92.5</b>	53.05245752276463	13.88520938997427	33U, 0425278, 5878687
213	<b>80.1</b>	53.05244723208665	13.88603023862820	33U, 0425333, 5878685
214	<b>77.6</b>	53.05243693574287	13.88685108697364	33U, 0425388, 5878683
215	<b>91.4</b>	53.05242663373325	13.88767193501032	33U, 0425443, 5878681
216	<b>89.2</b>	53.05241632605783	13.88849278273797	33U, 0425498, 5878679
217	<b>88.8</b>	53.05240601271662	13.88931363015631	33U, 0425553, 5878677
218	<b>88.5</b>	53.05239569370959	13.89013447726506	33U, 0425608, 5878675
219	<b>88.9</b>	53.05238536903678	13.89095532406395	33U, 0425663, 5878673
220	<b>81.5</b>	53.05237503869818	13.89177617055270	33U, 0425718, 5878671
221	<b>84.8</b>	53.05236470269379	13.89259701673103	33U, 0425773, 5878669
222	<b>81.3</b>	53.05235436102362	13.89341786259867	33U, 0425828, 5878667
223	<b>88.2</b>	53.05234401368768	13.89423870815535	33U, 0425883, 5878665
224	<b>81.4</b>	53.05233366068599	13.89505955340079	33U, 0425938, 5878663
225	<b>87.3</b>	53.05232330201852	13.89588039833470	33U, 0425993, 5878661
226	<b>81</b>	53.05231293768529	13.89670124295682	33U, 0426048, 5878659
227	<b>79.9</b>	53.05230256768631	13.89752208726688	33U, 0426103, 5878657
228	<b>78.8</b>	53.05229219202159	13.89834293126458	33U, 0426158, 5878655
229	<b>78</b>	53.05228181069113	13.89916377494966	33U, 0426213, 5878653
230	<b>84.6</b>	53.05227142369493	13.89998461832185	33U, 0426268, 5878651
231	<b>80.2</b>	53.05226103103297	13.90080546138086	33U, 0426323, 5878649
232	<b>78.7</b>	53.05225063270532	13.90162630412641	33U, 0426378, 5878647
233	<b>82.8</b>	53.05224022871194	13.90244714655825	33U, 0426433, 5878645
234	<b>82</b>	53.05222981905285	13.90326798867608	33U, 0426488, 5878643
235	<b>83.9</b>	53.05221940372805	13.90408883047963	33U, 0426543, 5878641
236	<b>83.9</b>	53.05220898273753	13.90490967196862	33U, 0426598, 5878639
237	<b>81.7</b>	53.05219855608131	13.90573051314279	33U, 0426653, 5878637
238	<b>76.9</b>	53.05218812375941	13.90655135400185	33U, 0426708, 5878635
239	<b>79</b>	53.05217768577182	13.90737219454552	33U, 0426763, 5878633
240	<b>79.9</b>	53.05216724211854	13.90819303477354	33U, 0426818, 5878631
241	<b>75.5</b>	53.05215679279959	13.90901387468562	33U, 0426873, 5878629
242	<b>70.4</b>	53.05214633781495	13.90983471428150	33U, 0426928, 5878627
243	<b>73.2</b>	53.05213587716465	13.91065555356088	33U, 0426983, 5878625
244	<b>78.1</b>	53.05212541084870	13.91147639252351	33U, 0427038, 5878623
245	<b>66.1</b>	53.05211493886708	13.91229723116909	33U, 0427093, 5878621
246	<b>43.9</b>	53.05210446121979	13.91311806949736	33U, 0427148, 5878619
247	<b>58.4</b>	53.05209397790688	13.91393890750804	33U, 0427203, 5878617
248	<b>56.5</b>	53.05208348892832	13.91475974520085	33U, 0427258, 5878615
249	<b>56.9</b>	53.05207299428413	13.91558058257553	33U, 0427313, 5878613
250	<b>56.6</b>	53.05206249397430	13.91640141963178	33U, 0427368, 5878611
251	<b>56.2</b>	53.05205198799885	13.91722225636934	33U, 0427423, 5878609
252	<b>56.7</b>	53.05204147635778	13.91804309278792	33U, 0427478, 5878607
253	<b>61.8</b>	53.05203095905109	13.91886392888727	33U, 0427533, 5878605
254	<b>54.4</b>	53.05202043607880	13.91968476466709	33U, 0427588, 5878603
255	<b>55.2</b>	53.05200990744090	13.92050560012711	33U, 0427643, 5878601
256	<b>63.7</b>	53.05199937313740	13.92132643526705	33U, 0427698, 5878599
257	<b>64.7</b>	53.05198883316831	13.92214727008665	33U, 0427753, 5878597
258	<b>56.7</b>	53.05197828753363	13.92296810458562	33U, 0427808, 5878595

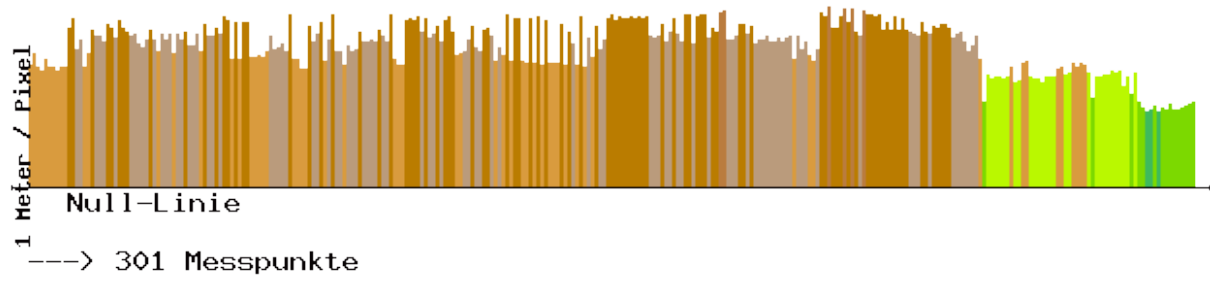
Die geomorphologische Situation unter dem Blickwinkel der DGM2 Laserscann-Bilder

259	55.7	53.05196773623337	13.92378893876368	33U, 0427863, 5878593
260	55.9	53.05195717926753	13.92460977262057	33U, 0427918, 5878591
261	54.5	53.05194661663612	13.92543060615601	33U, 0427973, 5878589
262	56.9	53.05193604833914	13.92625143936971	33U, 0428028, 5878587
263	57.5	53.05192547437660	13.92707227226141	33U, 0428083, 5878585
264	57.1	53.05191489474851	13.92789310483083	33U, 0428138, 5878583
265	60.6	53.05190430945488	13.92871393707769	33U, 0428193, 5878581
266	61.8	53.05189371849568	13.92953476900171	33U, 0428248, 5878579
267	57.8	53.05188312187095	13.93035560060263	33U, 0428303, 5878577
268	58.8	53.05187251958068	13.93117643188015	33U, 0428358, 5878575
269	64.1	53.05186191162490	13.93199726283402	33U, 0428413, 5878573
270	61.9	53.05185129800358	13.93281809346395	33U, 0428468, 5878571
271	63.6	53.05184067871676	13.93363892376966	33U, 0428523, 5878569
272	63.4	53.05183005376440	13.93445975375089	33U, 0428578, 5878567
273	59.2	53.05181942314655	13.93528058340735	33U, 0428633, 5878565
274	45.7	53.05180878686321	13.93610141273876	33U, 0428688, 5878563
275	57.2	53.05179814491436	13.93692224174486	33U, 0428743, 5878561
276	56.9	53.05178749730002	13.93774307042537	33U, 0428798, 5878559
277	57.8	53.05177684402020	13.93856389878000	33U, 0428853, 5878557
278	58.1	53.05176618507489	13.93938472680849	33U, 0428908, 5878555
279	59.9	53.05175552046411	13.94020555451056	33U, 0428963, 5878553
280	59.1	53.05174485018787	13.94102638188593	33U, 0429018, 5878551
281	59.6	53.05173417424615	13.94184720893433	33U, 0429073, 5878549
282	52.2	53.05172349263898	13.94266803565547	33U, 0429128, 5878547
283	57.2	53.05171280536636	13.94348886204910	33U, 0429183, 5878545
284	48.2	53.05170211242830	13.94430968811492	33U, 0429238, 5878543
285	59.5	53.05169141382478	13.94513051385266	33U, 0429293, 5878541
286	43.6	53.05168070955584	13.94595133926205	33U, 0429348, 5878539
287	41.5	53.05166999962146	13.94677216434281	33U, 0429403, 5878537
288	38.9	53.05165928402167	13.94759298909466	33U, 0429458, 5878535
289	39.7	53.05164856275644	13.94841381351734	33U, 0429513, 5878533
290	42.1	53.05163783582582	13.94923463761056	33U, 0429568, 5878531
291	39.1	53.05162710322977	13.95005546137404	33U, 0429623, 5878529
292	41	53.05161636496833	13.95087628480751	33U, 0429678, 5878527
293	40.4	53.05160562104148	13.95169710791070	33U, 0429733, 5878525
294	43	53.05159487144925	13.95251793068333	33U, 0429788, 5878523
295	40	53.05158411619162	13.95333875312512	33U, 0429843, 5878521
296	40.1	53.05157335526863	13.95415957523580	33U, 0429898, 5878519
297	41.2	53.05156258868024	13.95498039701509	33U, 0429953, 5878517
298	42	53.05155181642650	13.95580121846272	33U, 0430008, 5878515
299	42.6	53.05154103850739	13.95662203957840	33U, 0430063, 5878513
300	43.7	53.051532780955085	13.957443237304688	33U, 0430118, 5878511

Der Geländeschnitt beginnt bei den				
Geokoordinaten		UTM-Koordinaten		
° Nord	° Ost	Zone	Ost	Nord
53.05451121564449	13.7111829550263	33U	0413618	5879111
und endet bei den Koordinaten				
53.051532780955085	13.957443237304688	33U	0430118	5878511

## Die geomorphologische Situation unter dem Blickwinkel der DGM2 Laserscann-Bilder

Niedrigste Höhe:	38.9 m NHN
Größte Höhe:	92.6 m NHN
Der Geländeschnitt ist	16510 m lang
Der Abstand zwischen den Messpunkten beträgt	55.03 m



**Märkische Eiszeitstrasse.Natur und Landschaft.Geologisches.**

**Die Höhenangabe über NHN**

alle Angaben ohne Garantie!

**Geländeschnitt 10**

**Die Messpunkte:**

Pkt	Meter		Geo - Koordinaten		UTM - Koordinaten
	NHN	° Nord	° Ost	Zone, Ostwert, Nordwert	
0	73.7	53.09151692278302	13.8080852681823	33U, 0420181, 5883115	
1	72.5	53.09141338674442	13.80941719144072	33U, 0420270, 5883102	
2	74.1	53.09130983576165	13.81074910853261	33U, 0420359, 5883089	
3	72.5	53.09120626983484	13.81208101945692	33U, 0420448, 5883076	
4	51	53.09110268896422	13.81341292421253	33U, 0420537, 5883063	
5	59.1	53.09099909314990	13.81474482279831	33U, 0420626, 5883050	
6	70.9	53.09089548239204	13.81607671521314	33U, 0420715, 5883037	
7	60.7	53.09079185669084	13.81740860145590	33U, 0420804, 5883024	
8	70.5	53.09068821604643	13.81874048152546	33U, 0420893, 5883011	
9	70	53.09058456045899	13.82007235542069	33U, 0420982, 5882998	
10	69.7	53.09048088992868	13.82140422314047	33U, 0421071, 5882985	
11	65	53.09037720445564	13.82273608468367	33U, 0421160, 5882972	
12	67.7	53.09027350404007	13.82406794004918	33U, 0421249, 5882959	
13	47.7	53.09016978868210	13.82539978923586	33U, 0421338, 5882946	
14	66.9	53.09006605838191	13.82673163224260	33U, 0421427, 5882933	
15	67.9	53.08996231313965	13.82806346906826	33U, 0421516, 5882920	
16	68.4	53.08985855295552	13.82939529971173	33U, 0421605, 5882907	
17	63.4	53.08975477782963	13.83072712417187	33U, 0421694, 5882894	
18	63.2	53.08965098776216	13.83205894244757	33U, 0421783, 5882881	
19	67.6	53.08954718275329	13.83339075453770	33U, 0421872, 5882868	
20	67.7	53.08944336280315	13.83472256044113	33U, 0421961, 5882855	
21	51	53.08933952791194	13.83605436015675	33U, 0422050, 5882842	
22	67.1	53.08923567807980	13.83738615368343	33U, 0422139, 5882829	
23	70.8	53.08913181330689	13.83871794102003	33U, 0422228, 5882816	
24	68.7	53.08902793359339	13.84004972216545	33U, 0422317, 5882803	
25	60	53.08892403893945	13.84138149711855	33U, 0422406, 5882790	
26	61.8	53.08882012934524	13.84271326587821	33U, 0422495, 5882777	
27	63.9	53.08871620481091	13.84404502844331	33U, 0422584, 5882764	
28	71.8	53.08861226533664	13.84537678481272	33U, 0422673, 5882751	
29	58.2	53.08850831092260	13.84670853498532	33U, 0422762, 5882738	
30	62.1	53.08840434156891	13.84804027895999	33U, 0422851, 5882725	
31	62.1	53.08830035727576	13.84937201673560	33U, 0422940, 5882712	
32	52.6	53.08819635804333	13.85070374831102	33U, 0423029, 5882699	
33	61.1	53.08809234387176	13.85203547368514	33U, 0423118, 5882686	
34	51.1	53.08798831476122	13.85336719285683	33U, 0423207, 5882673	
35	49	53.08788427071185	13.85469890582497	33U, 0423296, 5882660	
36	45.6	53.08778021172387	13.85603061258842	33U, 0423385, 5882647	
37	54.3	53.08767613779738	13.85736231314608	33U, 0423474, 5882634	
38	55.2	53.08757204893258	13.85869400749681	33U, 0423563, 5882621	
39	48.3	53.08746794512962	13.86002569563950	33U, 0423652, 5882608	
40	49.8	53.08736382638867	13.86135737757301	33U, 0423741, 5882595	
41	43.2	53.08725969270991	13.86268905329623	33U, 0423830, 5882582	
42	96.1	53.08715554409346	13.86402072280803	33U, 0423919, 5882569	
43	73.3	53.08705138053951	13.86535238610729	33U, 0424008, 5882556	

## Die geomorphologische Situation unter dem Blickwinkel der DGM2 Laserscann-Bilder

44	38.2	53.08694720204821	13.86668404319288	33U, 0424097, 5882543
45	39.4	53.08684300861974	13.86801569406368	33U, 0424186, 5882530
46	86.3	53.08673880025427	13.86934733871857	33U, 0424275, 5882517
47	36.1	53.08663457695194	13.87067897715643	33U, 0424364, 5882504
48	41.4	53.08653033871292	13.87201060937613	33U, 0424453, 5882491
49	77.1	53.08642608553737	13.87334223537654	33U, 0424542, 5882478
50	37	53.08632181742548	13.87467385515655	33U, 0424631, 5882465
51	37.7	53.08621753437737	13.87600546871504	33U, 0424720, 5882452
52	38.4	53.08611323639324	13.87733707605087	33U, 0424809, 5882439
53	36	53.08600892347324	13.87866867716293	33U, 0424898, 5882426
54	35.9	53.08590459561754	13.88000027205009	33U, 0424987, 5882413
55	36.7	53.08580025282627	13.88133186071124	33U, 0425076, 5882400
56	37.4	53.08569589509964	13.88266344314524	33U, 0425165, 5882387
57	32.6	53.08559152243780	13.88399501935097	33U, 0425254, 5882374
58	38.2	53.08548713484090	13.88532658932732	33U, 0425343, 5882361
59	38.5	53.08538273230911	13.88665815307315	33U, 0425432, 5882348
60	38.9	53.08527831484259	13.88798971058736	33U, 0425521, 5882335
61	43.2	53.08517388244152	13.88932126186880	33U, 0425610, 5882322
62	33.3	53.08506943510604	13.89065280691636	33U, 0425699, 5882309
63	38.4	53.08496497283634	13.89198434572893	33U, 0425788, 5882296
64	41.5	53.08486049563255	13.89331587830537	33U, 0425877, 5882283
65	40.9	53.08475600349487	13.89464740464456	33U, 0425966, 5882270
66	42.5	53.08465149642345	13.89597892474538	33U, 0426055, 5882257
67	51.4	53.08454697441847	13.89731043860671	33U, 0426144, 5882244
68	44.9	53.08444243748004	13.89864194622742	33U, 0426233, 5882231
69	45.9	53.08433788560838	13.89997344760640	33U, 0426322, 5882218
70	56.2	53.08423331880362	13.90130494274252	33U, 0426411, 5882205
71	58	53.08412873706595	13.90263643163466	33U, 0426500, 5882192
72	59.1	53.08402414039551	13.90396791428169	33U, 0426589, 5882179
73	43.6	53.08391952879247	13.90529939068250	33U, 0426678, 5882166
74	43.4	53.08381490225702	13.90663086083596	33U, 0426767, 5882153
75	42.2	53.08371026078930	13.90796232474094	33U, 0426856, 5882140
76	18	53.08360560438946	13.90929378239634	33U, 0426945, 5882127
77	50.8	53.08350093305770	13.91062523380102	33U, 0427034, 5882114
78	41.9	53.08339624679415	13.91195667895386	33U, 0427123, 5882101
79	32.2	53.08329154559902	13.91328811785374	33U, 0427212, 5882088
80	19	53.08318682947242	13.91461955049955	33U, 0427301, 5882075
81	18.9	53.08308209841454	13.91595097689015	33U, 0427390, 5882062
82	19.4	53.08297735242555	13.91728239702442	33U, 0427479, 5882049
83	24	53.08287259150561	13.91861381090125	33U, 0427568, 5882036
84	19.8	53.08276781565488	13.91994521851951	33U, 0427657, 5882023
85	21.5	53.08266302487351	13.92127661987808	33U, 0427746, 5882010
86	19.9	53.08255821916170	13.92260801497583	33U, 0427835, 5881997
87	21.3	53.08245339851959	13.92393940381165	33U, 0427924, 5881984
88	22.1	53.08234856294735	13.92527078638442	33U, 0428013, 5881971
89	108.2	53.08224371244514	13.92660216269301	33U, 0428102, 5881958
90	30.8	53.08213884701313	13.92793353273630	33U, 0428191, 5881945
91	26	53.08203396665149	13.92926489651317	33U, 0428280, 5881932
92	49.6	53.08192907136038	13.93059625402250	33U, 0428369, 5881919
93	32	53.08182416113996	13.93192760526316	33U, 0428458, 5881906
94	33.9	53.08171923599038	13.93325895023404	33U, 0428547, 5881893
95	102.3	53.08161429591183	13.93459028893401	33U, 0428636, 5881880
96	104.6	53.08150934090449	13.93592162136196	33U, 0428725, 5881867
97	106.6	53.08140437096847	13.93725294751675	33U, 0428814, 5881854

## Die geomorphologische Situation unter dem Blickwinkel der DGM2 Laserscann-Bilder

98	95.5	53.08129938610398	13.93858426739728	33U, 0428903, 5881841
99	19	53.08119438631117	13.93991558100241	33U, 0428992, 5881828
100	19	53.08108937159021	13.94124688833103	33U, 0429081, 5881815
101	18.7	53.08098434194125	13.94257818938202	33U, 0429170, 5881802
102	77.9	53.08087929736448	13.94390948415425	33U, 0429259, 5881789
103	17.9	53.08077423786003	13.94524077264660	33U, 0429348, 5881776
104	38.2	53.08066916342811	13.94657205485796	33U, 0429437, 5881763
105	18.1	53.08056407406885	13.94790333078720	33U, 0429526, 5881750
106	18	53.08045896978241	13.94923460043319	33U, 0429615, 5881737
107	43.3	53.08035385056898	13.95056586379483	33U, 0429704, 5881724
108	43	53.08024871642871	13.95189712087099	33U, 0429793, 5881711
109	39.7	53.08014356736179	13.95322837166054	33U, 0429882, 5881698
110	39.3	53.08003840336835	13.95455961616237	33U, 0429971, 5881685
111	72	53.07993322444857	13.95589085437536	33U, 0430060, 5881672
112	71	53.07982803060261	13.95722208629838	33U, 0430149, 5881659
113	104.1	53.07972282183065	13.95855331193031	33U, 0430238, 5881646
114	40.9	53.07961759813285	13.95988453127004	33U, 0430327, 5881633
115	41.9	53.07951235950936	13.96121574431644	33U, 0430416, 5881620
116	42.2	53.07940710596036	13.96254695106840	33U, 0430505, 5881607
117	100.2	53.07930183748603	13.96387815152478	33U, 0430594, 5881594
118	104.3	53.07919655408649	13.96520934568448	33U, 0430683, 5881581
119	71	53.07909125576195	13.96654053354637	33U, 0430772, 5881568
120	32.4	53.07898594251255	13.96787171510933	33U, 0430861, 5881555
121	31.2	53.07888061433847	13.96920289037223	33U, 0430950, 5881542
122	33.3	53.07877527123986	13.97053405933397	33U, 0431039, 5881529
123	32.9	53.07866991321690	13.97186522199342	33U, 0431128, 5881516
124	30.7	53.07856454026974	13.97319637834945	33U, 0431217, 5881503
125	30.4	53.07845915239857	13.97452752840096	33U, 0431306, 5881490
126	33.2	53.07835374960354	13.97585867214681	33U, 0431395, 5881477
127	28.1	53.07824833188480	13.97718980958589	33U, 0431484, 5881464
128	28	53.07814289924253	13.97852094071708	33U, 0431573, 5881451
129	29.7	53.07803745167691	13.97985206553925	33U, 0431662, 5881438
130	27	53.07793198918810	13.98118318405129	33U, 0431751, 5881425
131	25.3	53.07782651177626	13.98251429625209	33U, 0431840, 5881412
132	25.4	53.07772101944153	13.98384540214050	33U, 0431929, 5881399
133	79.9	53.07761551218412	13.98517650171543	33U, 0432018, 5881386
134	81.9	53.07750999000417	13.98650759497574	33U, 0432107, 5881373
135	82	53.07740445290186	13.98783868192032	33U, 0432196, 5881360
136	37.3	53.07729890087734	13.98916976254805	33U, 0432285, 5881347
137	97	53.07719333393078	13.99050083685781	33U, 0432374, 5881334
138	23.7	53.07708775206236	13.99183190484847	33U, 0432463, 5881321
139	89.7	53.07698215527223	13.99316296651893	33U, 0432552, 5881308
140	83.2	53.07687654356055	13.99449402186805	33U, 0432641, 5881295
141	40.3	53.07677091692752	13.99582507089472	33U, 0432730, 5881282
142	43	53.07666527537327	13.99715611359782	33U, 0432819, 5881269
143	43.9	53.07655961889799	13.99848714997623	33U, 0432908, 5881256
144	35.1	53.07645394750182	13.99981818002883	33U, 0432997, 5881243
145	59.1	53.07634826118495	14.00114920375450	33U, 0433086, 5881230
146	45.7	53.07624255994754	14.00248022115213	33U, 0433175, 5881217
147	56.5	53.07613684378974	14.00381123222058	33U, 0433264, 5881204
148	54	53.07603111271174	14.00514223695875	33U, 0433353, 5881191
149	42.3	53.07592536671369	14.00647323536551	33U, 0433442, 5881178
150	43.1	53.07581960579578	14.00780422743975	33U, 0433531, 5881165
151	43.5	53.07571382995815	14.00913521318033	33U, 0433620, 5881152

## Die geomorphologische Situation unter dem Blickwinkel der DGM2 Laserscann-Bilder

152	42	53.07560803920097	14.01046619258616	33U, 0433709, 5881139
153	53.1	53.07550223352440	14.01179716565610	33U, 0433798, 5881126
154	42.5	53.07539641292863	14.01312813238903	33U, 0433887, 5881113
155	54.2	53.07529057741382	14.01445909278385	33U, 0433976, 5881100
156	24.7	53.07518472698013	14.01579004683942	33U, 0434065, 5881087
157	25.6	53.07507886162772	14.01712099455464	33U, 0434154, 5881074
158	37.6	53.07497298135676	14.01845193592837	33U, 0434243, 5881061
159	37.1	53.07486708616742	14.01978287095950	33U, 0434332, 5881048
160	47.4	53.07476117605988	14.02111379964692	33U, 0434421, 5881035
161	37.5	53.07465525103429	14.02244472198950	33U, 0434510, 5881022
162	45.3	53.07454931109081	14.02377563798613	33U, 0434599, 5881009
163	37.5	53.07444335622962	14.02510654763568	33U, 0434688, 5880996
164	36	53.07433738645087	14.02643745093704	33U, 0434777, 5880983
165	35.6	53.07423140175474	14.02776834788909	33U, 0434866, 5880970
166	37.6	53.07412540214142	14.02909923849071	33U, 0434955, 5880957
167	37.9	53.07401938761105	14.03043012274078	33U, 0435044, 5880944
168	37.5	53.07391335816379	14.03176100063818	33U, 0435133, 5880931
169	35.9	53.07380731379980	14.03309187218180	33U, 0435222, 5880918
170	34.1	53.07370125451928	14.03442273737051	33U, 0435311, 5880905
171	72.4	53.07359518032238	14.03575359620320	33U, 0435400, 5880892
172	85.1	53.07348909120925	14.03708444867874	33U, 0435489, 5880879
173	95.7	53.07338298718009	14.03841529479603	33U, 0435578, 5880866
174	79.4	53.07327686823505	14.03974613455394	33U, 0435667, 5880853
175	84.5	53.07317073437429	14.04107696795135	33U, 0435756, 5880840
176	30.6	53.07306458559799	14.04240779498714	33U, 0435845, 5880827
177	32.8	53.07295842190631	14.04373861566020	33U, 0435934, 5880814
178	33.1	53.07285224329942	14.04506942996941	33U, 0436023, 5880801
179	22	53.07274604977748	14.04640023791366	33U, 0436112, 5880788
180	36	53.07263984134068	14.04773103949181	33U, 0436201, 5880775
181	37.6	53.07253361798914	14.04906183470275	33U, 0436290, 5880762
182	20.8	53.07242737972308	14.05039262354538	33U, 0436379, 5880749
183	88.5	53.07232112654263	14.05172340601855	33U, 0436468, 5880736
184	62	53.07221485844799	14.05305418212117	33U, 0436557, 5880723
185	27.9	53.07210857543928	14.05438495185211	33U, 0436646, 5880710
186	83.8	53.07200227751671	14.05571571521026	33U, 0436735, 5880697
187	60.9	53.07189596468043	14.05704647219449	33U, 0436824, 5880684
188	31.2	53.07178963693061	14.05837722280369	33U, 0436913, 5880671
189	61.2	53.07168329426742	14.05970796703673	33U, 0437002, 5880658
190	36.4	53.07157693669102	14.06103870489251	33U, 0437091, 5880645
191	36.5	53.07147056420160	14.06236943636991	33U, 0437180, 5880632
192	60	53.07136417679929	14.06370016146780	33U, 0437269, 5880619
193	34.5	53.07125777448429	14.06503088018507	33U, 0437358, 5880606
194	31.5	53.07115135725674	14.06636159252060	33U, 0437447, 5880593
195	36.5	53.07104492511683	14.06769229847328	33U, 0437536, 5880580
196	34	53.07093847806471	14.06902299804198	33U, 0437625, 5880567
197	33.8	53.07083201610057	14.07035369122559	33U, 0437714, 5880554
198	31.9	53.07072553922455	14.07168437802300	33U, 0437803, 5880541
199	37.1	53.07061904743685	14.07301505843307	33U, 0437892, 5880528
200	37.2	53.07051254073760	14.07434573245471	33U, 0437981, 5880515
201	39	53.07040601912701	14.07567640008678	33U, 0438070, 5880502
202	41	53.07029948260521	14.07700706132817	33U, 0438159, 5880489
203	39.9	53.07019293117239	14.07833771617777	33U, 0438248, 5880476
204	54.5	53.07008636482870	14.07966836463446	33U, 0438337, 5880463
205	52.7	53.06997978357434	14.08099900669712	33U, 0438426, 5880450

## Die geomorphologische Situation unter dem Blickwinkel der DGM2 Laserscann-Bilder

206	39.1	53.06987318740943	14.08232964236463	33U, 0438515, 5880437
207	49.8	53.06976657633418	14.08366027163587	33U, 0438604, 5880424
208	46	53.06965995034873	14.08499089450973	33U, 0438693, 5880411
209	54.3	53.06955330945328	14.08632151098510	33U, 0438782, 5880398
210	20	53.06944665364796	14.08765212106085	33U, 0438871, 5880385
211	20.7	53.06933998293297	14.08898272473587	33U, 0438960, 5880372
212	37.1	53.06923329730844	14.09031332200904	33U, 0439049, 5880359
213	54.3	53.06912659677458	14.09164391287924	33U, 0439138, 5880346
214	54.5	53.06901988133153	14.09297449734536	33U, 0439227, 5880333
215	38.3	53.06891315097948	14.09430507540628	33U, 0439316, 5880320
216	38.8	53.06880640571857	14.09563564706088	33U, 0439405, 5880307
217	36.5	53.06869964554900	14.09696621230805	33U, 0439494, 5880294
218	36.2	53.06859287047092	14.09829677114667	33U, 0439583, 5880281
219	37.6	53.06848608048450	14.09962732357562	33U, 0439672, 5880268
220	39.7	53.06837927558990	14.10095786959379	33U, 0439761, 5880255
221	50.5	53.06827245578730	14.10228840920006	33U, 0439850, 5880242
222	41.8	53.06816562107687	14.10361894239331	33U, 0439939, 5880229
223	44.7	53.06805877145875	14.10494946917244	33U, 0440028, 5880216
224	54.5	53.06795190693316	14.10627998953631	33U, 0440117, 5880203
225	49.5	53.06784502750022	14.10761050348381	33U, 0440206, 5880190
226	50	53.06773813316014	14.10894101101383	33U, 0440295, 5880177
227	53.2	53.06763122391306	14.11027151212526	33U, 0440384, 5880164
228	52	53.06752429975914	14.11160200681697	33U, 0440473, 5880151
229	51.8	53.06741736069858	14.11293249508784	33U, 0440562, 5880138
230	54.2	53.06731040673154	14.11426297693677	33U, 0440651, 5880125
231	55	53.06720343785815	14.11559345236264	33U, 0440740, 5880112
232	42.7	53.06709645407863	14.11692392136433	33U, 0440829, 5880099
233	53.3	53.06698945539312	14.11825438394072	33U, 0440918, 5880086
234	53.4	53.06688244180180	14.11958484009070	33U, 0441007, 5880073
235	55.1	53.06677541330484	14.12091528981314	33U, 0441096, 5880060
236	54.8	53.06666836990239	14.12224573310695	33U, 0441185, 5880047
237	49.3	53.06656131159464	14.12357616997100	33U, 0441274, 5880034
238	53	53.06645423838174	14.12490660040417	33U, 0441363, 5880021
239	42.1	53.06634715026389	14.12623702440535	33U, 0441452, 5880008
240	55.2	53.06624004724124	14.12756744197342	33U, 0441541, 5879995
241	51.4	53.06613292931394	14.12889785310726	33U, 0441630, 5879982
242	47.8	53.06602579648217	14.13022825780577	33U, 0441719, 5879969
243	50.8	53.06591864874613	14.13155865606782	33U, 0441808, 5879956
244	54.8	53.06581148610596	14.13288904789230	33U, 0441897, 5879943
245	55.1	53.06570430856182	14.13421943327810	33U, 0441986, 5879930
246	53.1	53.06559711611389	14.13554981222409	33U, 0442075, 5879917
247	54.1	53.06548990876235	14.13688018472917	33U, 0442164, 5879904
248	52.5	53.06538268650735	14.13821055079221	33U, 0442253, 5879891
249	55.9	53.06527544934908	14.13954091041211	33U, 0442342, 5879878
250	51.2	53.06516819728768	14.14087126358774	33U, 0442431, 5879865
251	40.3	53.06506093032336	14.14220161031799	33U, 0442520, 5879852
252	58	53.06495364845625	14.14353195060174	33U, 0442609, 5879839
253	47.6	53.06484635168654	14.14486228443789	33U, 0442698, 5879826
254	48.5	53.06473904001439	14.14619261182530	33U, 0442787, 5879813
255	52.9	53.06463171343999	14.14752293276288	33U, 0442876, 5879800
256	53.1	53.06452437196347	14.14885324724951	33U, 0442965, 5879787
257	65.4	53.06441701558504	14.15018355528406	33U, 0443054, 5879774
258	65.4	53.06430964430483	14.15151385686542	33U, 0443143, 5879761
259	41.3	53.06420225812305	14.15284415199249	33U, 0443232, 5879748

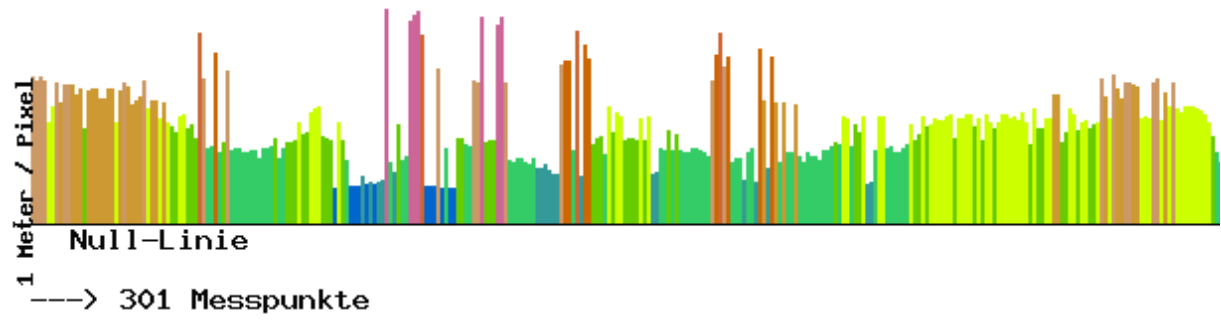
## Die geomorphologische Situation unter dem Blickwinkel der DGM2 Laserscann-Bilder

260	45.7	53.06409485703983	14.15417444066413	33U, 0443321, 5879735
261	58	53.06398744105537	14.15550472287925	33U, 0443410, 5879722
262	55.4	53.06388001016984	14.15683499863671	33U, 0443499, 5879709
263	46.8	53.06377256438338	14.15816526793542	33U, 0443588, 5879696
264	51.2	53.06366510369619	14.15949553077425	33U, 0443677, 5879683
265	52.2	53.06355762810841	14.16082578715209	33U, 0443766, 5879670
266	47.6	53.06345013762024	14.16215603706782	33U, 0443855, 5879657
267	49.8	53.06334263223184	14.16348628052034	33U, 0443944, 5879644
268	50.7	53.06323511194337	14.16481651750851	33U, 0444033, 5879631
269	72.9	53.06312757675501	14.16614674803124	33U, 0444122, 5879618
270	63.8	53.06302002666690	14.16747697208740	33U, 0444211, 5879605
271	53.2	53.06291246167925	14.16880718967588	33U, 0444300, 5879592
272	74.9	53.06280488179223	14.17013740079556	33U, 0444389, 5879579
273	68.3	53.06269728700597	14.17146760544534	33U, 0444478, 5879566
274	63.2	53.06258967732067	14.17279780362409	33U, 0444567, 5879553
275	70.6	53.06248205273649	14.17412799533071	33U, 0444656, 5879540
276	70.9	53.06237441325362	14.17545818056407	33U, 0444745, 5879527
277	69.6	53.06226675887221	14.17678835932307	33U, 0444834, 5879514
278	68.9	53.06215908959241	14.17811853160658	33U, 0444923, 5879501
279	52.8	53.06205140541443	14.17944869741350	33U, 0445012, 5879488
280	54	53.06194370633843	14.18077885674271	33U, 0445101, 5879475
281	53	53.06183599236455	14.18210900959310	33U, 0445190, 5879462
282	71.4	53.06172826349299	14.18343915596354	33U, 0445279, 5879449
283	72.7	53.06162051972390	14.18476929585294	33U, 0445368, 5879436
284	52.2	53.06151276105748	14.18609942926017	33U, 0445457, 5879423
285	66	53.06140498749389	14.18742955618411	33U, 0445546, 5879410
286	59.1	53.06129719903327	14.18875967662366	33U, 0445635, 5879397
287	71	53.06118939567581	14.19008979057771	33U, 0445724, 5879384
288	58.3	53.06108157742170	14.19141989804513	33U, 0445813, 5879371
289	55.6	53.06097374427109	14.19274999902481	33U, 0445902, 5879358
290	59.3	53.06086589622415	14.19408009351565	33U, 0445991, 5879345
291	59	53.06075803328105	14.19541018151651	33U, 0446080, 5879332
292	59	53.06065015544196	14.19674026302630	33U, 0446169, 5879319
293	57.7	53.06054226270707	14.19807033804390	33U, 0446258, 5879306
294	56.9	53.06043435507652	14.19940040656819	33U, 0446347, 5879293
295	54.6	53.06032643255050	14.20073046859807	33U, 0446436, 5879280
296	50.8	53.06021849512916	14.20206052413241	33U, 0446525, 5879267
297	43.7	53.06011054281269	14.20339057317010	33U, 0446614, 5879254
298	35.8	53.06000257560127	14.20472061571003	33U, 0446703, 5879241
299	30.9	53.05989459349505	14.20605065175109	33U, 0446792, 5879228

Der Geländeschnitt beginnt bei den				
Geokoordinaten		UTM-Koordinaten		
° Nord	° Ost	Zone	Ost	Nord
53.09151692278302	13.8080852681823	33U	0420181	5883115
und endet bei den Koordinaten				
53.05978679424107	14.207382202148438	33U	0446881	5879215
Niedrigste Höhe:		-4941 m NHN		
Größte Höhe:		108.2 m NHN		

# Die geomorphologische Situation unter dem Blickwinkel der DGM2 Laserscann-Bilder

Der Geländeschnitt ist	26983 m lang
Der Abstand zwischen den Messpunkten beträgt	89.94 m



Die geomorphologische Situation unter dem Blickwinkel der DGM2 Laserscann-Bilder